

1
2ej.



UNIVERSIDAD NACIONAL AUTÓNOMA DE MÉXICO

Facultad de Ingeniería

"CÁLCULO DE FILTROS ELÉCTRICOS USANDO EL
FILTRO DE BUTTERWORTH Y FUNCIONES
VENTANA"

T E S I S
QUE PARA OBTENER EL TÍTULO DE
INGENIERO GEOFÍSICO
P R E S E N T A :
OSCAR AARON ADAME RUEDAS



Universidad Nacional
Autónoma de México



UNAM – Dirección General de Bibliotecas Tesis Digitales Restricciones de uso

DERECHOS RESERVADOS © PROHIBIDA SU REPRODUCCIÓN TOTAL O PARCIAL

Todo el material contenido en esta tesis está protegido por la Ley Federal del Derecho de Autor (LFDA) de los Estados Unidos Mexicanos (México).

El uso de imágenes, fragmentos de videos, y demás material que sea objeto de protección de los derechos de autor, será exclusivamente para fines educativos e informativos y deberá citar la fuente donde la obtuvo mencionando el autor o autores. Cualquier uso distinto como el lucro, reproducción, edición o modificación, será perseguido y sancionado por el respectivo titular de los Derechos de Autor.

INDICE

	pág.
INTRODUCCION	1
CAPITULO I TEORIAS EMPLEADAS EN EL DISEÑO DE FILTROS ELECTRICOS.	4
I.1. Conceptos teóricos.	4
I.2. Método de transformada de Fourier	13
I.3. Método de Integración directa	18
I.4. Método de mínimos cuadrados	19
I.5. Método de transformada-Z.	22
I.6. Método de Mansinha.	23
CAPITULO II METODOS ALTERNOS EN EL DISEÑO DE FILTROS.	28
II.1. Relación de funciones	28
.1 Aplicación del filtro de Butterworth	30
.2 Aplicación de la función ventana de Hanning.	35
CAPITULO III ANALISIS Y DISCUSION DE RESULTADOS.	39

CONCLUSIONES Y RECOMENDACIONES	63
APENDICE A	64
APENDICE B	69
APENDICE C	74
BIBLIOGRAFIA	76

INTRODUCCION

INTRODUCCION

A lo largo de la historia de la humanidad encontramos que su premisa fundamental, es la de comprender el mundo que la rodea. Siguiendo esta línea, ha mantenido una inspiración de trabajo que le ha permitido conocer algunos aspectos de este objetivo. De esta forma, un análisis a nivel individual nos hace percatar que como elementos inmersos dentro de este patrón, nuestros anhelos no podrán variar por mucho de este propósito. Dentro de este contexto se forman las sociedades que instituyen la única forma de trabajo en grupo que conoce el ser humano, destinando así, a diferentes sectores, labores específicas, donde encontramos a la ciencia de la Geofísica, cuyo objetivo primordial es la de conocer los fenómenos físicos asociados a campos terrestres. Contando esta con diferentes especialidades, como por ejemplo la Geoelectrónica, encargada de estudiar la distribución a profundidad de alguna propiedad electromagnética.

El inicio de un estudio metodológico de la Geoelectrónica, lo realizan principalmente los hermanos Schlumberger, a principios de siglo. A partir de entonces, se han elaborado diversos métodos enfocados a solucionar los diferentes problemas que se presentan dentro de esta disciplina. Como muchas otras ramas del saber, la Geoelectrónica, a pesar de que ha experimentado un desarrollo acelerado en los últimos años, se sigue enfrentando en la actualidad, a un gran número de problemas que aún no tienen una solución satisfactoria. Uno

INTRODUCCION

de los cuales consiste en determinar a la Función Transformada de Resistividades ($TR(X)$), a partir de los datos de campo. Slichter (1933), Vozoff (1958) y Koefoed (1968), por mencionar algunos, fueron los primeros que analizaron este aspecto, mediante procedimientos que requerían de una gran inversión de tiempo de trabajo. En 1971, un renovador punto de vista es establecido por Ghosh, en su Teoría del Filtraje Lineal. El que permite calcular a la función $TR(X)$ a través de una Función Filtro ($F(X)$). De ahí, se desprende la gran importancia que tiene el conocer la $F(X)$. Desde entonces, un gran número de autores, siguiendo esta línea, han propuesto técnicas para optimizar este cálculo, entre los que cabe destacar el trabajo propuesto por Koefoed (Koefoed, 1972); quien sugiere dar un cierto desplazamiento a la función $F(X)$, para reducir su tamaño (número de coeficientes). El cual ha tenido una gran aceptación hasta nuestros días. No obstante, este método implica en la práctica dar un desplazamiento similar a la Función de Resistividad Aparente ($RA(x)$), para calcular la $TR(X)$.

Así entonces, el tema estudiado en este trabajo de tesis, es concretamente, diseñar una función $F(X)$ para el cálculo de la $TR(X)$, sin la necesidad del desplazamiento mencionado anteriormente. Mansinha (1984) efectúa un interesante trabajo sobre este mismo objetivo, sin embargo, el procedimiento y los resultados que obtiene no son satisfactorios. Por tal motivo, se proponen en este trabajo dos técnicas diferentes: la primera es retomada de la idea original de Mansinha, de multiplicar a la transformada directa de Fourier de la

INTRODUCCION

función $F(X)$ con desplazamiento cero, por el Filtro de Butterworth, al que se le varia el número de onda de corte de acuerdo al intervalo de muestreo usado, así como también, el orden del filtro. Para la segunda, se sigue la idea tradicional de Ghosh, de efectuar un cociente con funciones previamente conocidas en el dominio del número de onda, para determinar la función $F(X)$. Una vez calculada la función $F(X)$ con desplazamiento cero, es multiplicada por la Ventana de Hanning, para obtener la función $F(X)$ deseada.

El primer capítulo de este trabajo, expone en una forma breve, los más importantes métodos, que han sido propuestos con el fin de conocer a la función $F(X)$ de una manera satisfactoria.

En el segundo capítulo, se estudian en detalle los métodos que han sido sugeridos en este trabajo, apoyados en el programa FILTER implementado por Seara (Seara, 1979).

Por último se incluye, un tercer capítulo de resultados, con el propósito de observar con claridad las diferencias que existen entre estos métodos. Con tal motivo, es elaborada una tabla comparativa a partir del programa FILTER.

Se tiene además, para finalizar, un apartado donde se exponen las conclusiones y recomendaciones pertinentes.

CAPITULO I

I. TEORIAS EMPLEADAS EN EL DISEÑO DE FILTROS ELECTRICOS

I.1. Conceptos teóricos

Diferentes autores como Koefoed (1979) y Orellana (1981), han establecido de una manera muy amplia, la teoría para sondeos eléctricos verticales, haciendo innecesario, profundizar en los desarrollos matemáticos que se requieren. Sin embargo, un resumen de estos se hace imprescindible para establecer un punto de partida dentro del diseño de filtros digitales.

Para calcular el potencial eléctrico U en la superficie de un medio estratificado de n capas, fig. I.1.1, donde cada una de ellas se considera como homogénea e isotrópica, se necesita recurrir a la ecuación de Laplace,

$$\nabla^2 U = 0 \quad \text{I.1.1}$$

que se cumple para todas las capas, excepto para la primera. Debido a que en esta existe una fuente de emisión, lo que implica que a la solución general se le tenga que agregar una solución particular. De esta forma, la solución para U evaluada en $Z=0$, relacionada a una fuente puntual es, (Koefoed, 1979)

$$U = \frac{I\rho}{2\pi} \int_0^{\infty} K(\lambda) J_0(\lambda r) d\lambda \quad \text{I.1.2}$$

donde I es la corriente inyectada al terreno, $J_0(\lambda r)$ la función de Bessel de primera especie y orden cero y $K(\lambda)$ es

CAPITULO I

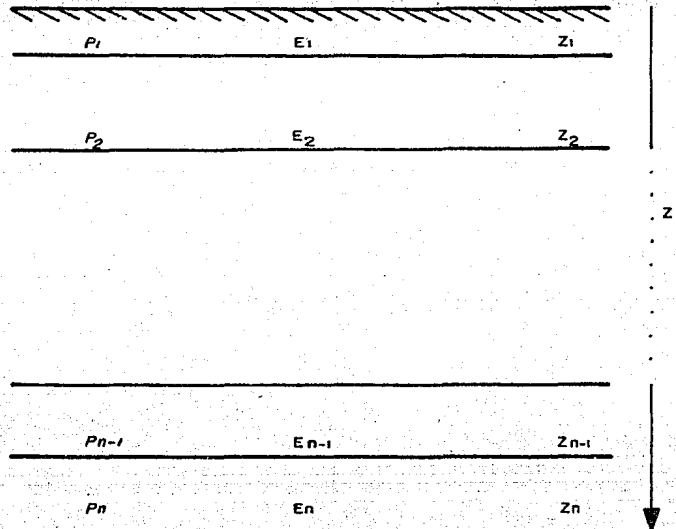


Fig. I.1.1 MEDIO ESTRATIFICADO DE "n" CAPAS

CAPITULO I

conocida como la función Kernel de Slichter (KS); función que involucra a los parámetros del medio estratificado, y que pueden ser determinados a través de la fórmula de recurrencia de Pekeris, expresada como (Koefoed, 1979)

$$K_i = \frac{K_{i+1} + A \tanh(\lambda E_i)}{1 + K_{i+1} \tanh(\lambda E_i)} \quad \text{I.1.3}$$

Aunque en la actualidad, se usa más comunmente el concepto de función transformada de resistividades; $T(\lambda) = A K(\lambda)$.

Ahora bien, para recopilar la información de los parámetros del medio estratificado, se efectúan en el campo, una serie de mediciones (que conforman a la curva de resistividad aparente) mediante alguno de los arreglos o dispositivos electródicos que existen en la literatura. Dentro de los cuales encontramos a los dispositivos tetraelectródicos Schlumberger y Wenner, figuras I.1.2 y I.1.3 respectivamente, considerados por muchos autores como los de mayor aplicación. El dispositivo Schlumberger consta de cuatro elementos: dos electrodos de corriente (A y B), que se desplazan de manera equidistante a un punto central "O", para cada abertura, y manteniendo siempre una separación $\overline{AO} = \overline{OB} = \overline{AB}/2$, y por otra parte, dos electrodos de potencial (M y N) que se conservan fijos a una distancia que satisface las siguientes relaciones, $\overline{MO} = \overline{ON} = \overline{MN}/2$ y $\overline{MN} = \overline{AB}/5$. Mientras que para el arreglo Wenner, se tienen también dos electrodos de corriente (A y B) y dos de potencial (M y N) que mantienen una simetría con respecto al centro "O" de la siguiente forma $\overline{AM} = \overline{MN} = \overline{NB}$.

De todo lo anterior es obvio suponer que existen

CAPITULO I

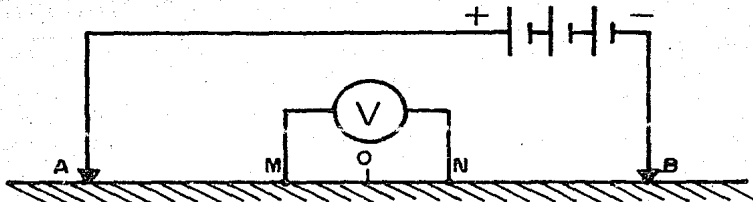


Fig. 1.1.2 DISPOSITIVO TETRAELECTRODICO SCHLUMBERGER

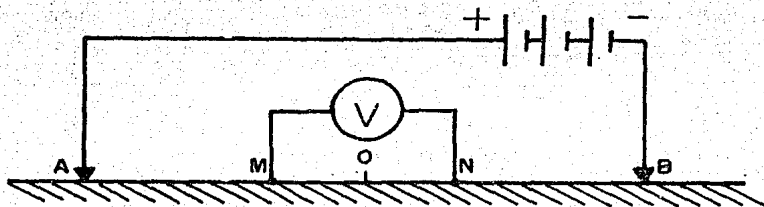


Fig. 1.1.3 DISPOSITIVO TETRAELECTRODICO WENNER

CAPITULO I

expresiones que relacionan a la función transformada de resistividades y a la función de resistividad aparente. Así entonces, para la función de resistividad aparente, en un medio estratificado, para el dispositivo Schlumberger tenemos (Koefoed, 1979)

$$\rho_{as}(s) = A_1 + s^2 \int_0^{\infty} [T(\lambda) - A_2] J_1(\lambda s) \lambda d\lambda \quad \text{I.1.4a}$$

y para $T(\lambda)$, (Koefoed, 1979)

$$T(\lambda) = \int_0^{\infty} \frac{\rho_{as}(s)}{s} J_1(\lambda s) ds \quad \text{I.1.4b}$$

para el dispositivo Wenner la función de resistividad aparente es (Koefoed, 1979),

$$\rho_{aw}(a) = 2a \int_0^{\infty} T(\lambda) [J_0(\lambda a) - J_0(2\lambda a)] d\lambda \quad \text{I.1.4c}$$

y $T(\lambda)$ se presenta en forma explícita según (Koefoed, 1979)

$$\frac{2T(\lambda)}{\lambda} - \frac{T(\lambda/2)}{\lambda} = \int_0^{\infty} \rho_{aw}(a) J_0(\lambda a) da \quad \text{I.1.4d}$$

relaciones que permiten observar que la curva de resistividad aparente depende del tipo de dispositivo empleado, y del corte geoelectrónico considerado.

De acuerdo a la ecuación I.1.4b, se observa que es posible calcular a la función transformada de resistividades, a partir de los datos medidos en campo. Lo que se conoce, dentro de los sondeos eléctricos verticales, como método directo.

La importancia que tiene determinar la función transformada de resistividades mediante el método directo, radica en que, una vez establecida, es posible calcular los

CAPITULO I

valores de los parámetros, esto es, espesores y resistividades del medio estratificado. Por esta razón, surgen diversos trabajos pioneros, siendo los más importantes los que presentan Vozoff (1958) y Koefoed (1968). El método propuesto por Vozoff, principia asumiendo un modelo de n capas, con sus respectivos parámetros. Con los cuales se calcula una función KS teórica mediante el algoritmo de Sunde. Posteriormente pequeños cambios son efectuados a los valores del modelo original, hasta que la función KS teórica se aproxima lo más posible a una función KS observada. La función KS observada se obtiene al aplicar una ecuación similar a I.1.4b a los datos de campo, y que Vozoff resuelve mediante una técnica de integración numérica. A las funciones KS teórica y observada, establecidas por caminos diferentes, Vozoff aplica un método de mínimos cuadrados para disminuir sus discrepancias con respecto a los espesores y resistividades. El que se expresa como

$$\sum_{j=1}^n [KS_{12 \dots n}(\lambda_j) - KS(\lambda_j)]^2 = E_{mc} \quad I.1.5$$

donde $KS_{12 \dots n}$ representa la función KS teórica y E_{mc} el error deseado. Resolver la expresión I.1.5, no representa gran dificultad, por lo que únicamente se mencionan las técnicas que fueron empleadas: Método de Newton (Von Sanden, 1923) y Método de Gradiente Máximo (Householder, 1953). De todo esto, se puede observar que el método propuesto por Vozoff, requiere de varios procedimientos independientes, representando cada uno de ellos demasiado trabajo. Por lo que

CAPITULO I

esta técnica, enfocada desde un punto de vista práctico, resulta ser muy laboriosa. Por otra parte, el método propuesto por Koefoed, conocido como método de descomposición, consiste en representar a la curva de resistividad aparente mediante la superposición de varias funciones, denominadas Funciones Parciales de Resistividad Aparente (FPRA), cuyas funciones KS asociadas son calculadas en forma independiente y se les conoce como Función Kernel Parcial (FKP). De esta forma el cálculo de la función KS se realiza por medio de la sumatoria de todas las FKP, más una constante, y su exactitud depende de la calidad de la aproximación de la curva de resistividad aparente. Este método fue ideado para el dispositivo Schlumberger, y una gran desventaja, esta relacionada a la etapa gráfica del método. Debido a que en esta, se requiere de una gran inversión de tiempo de trabajo.

La Teoría del Filtraje Lineal establecida por Ghosh, marca una nueva era en el cálculo de la función transformada de resistividades. Para ello, Ghosh, propone hacer un útil cambio de variables a los parámetros de medición de campo:

$$x = \ln s \quad y = -\ln \lambda \quad \text{I.1.6}$$

con lo que las ecuaciones I.1.4a, I.1.4b, I.1.4c y I.1.4d se escriben como

$$\rho_{as}(x) = \rho_a + \int_0^{\infty} [T(y) - \rho_a] J_1(e^{x-y}) e^{2(x-y)} dy \quad \text{I.1.7a}$$

$$T(y) = \int_0^{\infty} \rho_{as}(x) J_1(e^{x-y}) dx \quad \text{I.1.7b}$$

CAPITULO I

$$f aw(x) = 2 \int_{-\infty}^{\infty} T(y) [J_0(e^{x-y}) - J_0(2e^{x-y})] e^{x-y} dy \quad I.1.7c$$

$$2T(y) - T(y/2) = \int_{-\infty}^{\infty} f aw(x) J_0(e^{x-y}) e^{x-y} dx \quad I.1.7d$$

expresiones que pueden ser interpretadas como integrales de convolución. Donde $T(y)$ (por ejemplo para la ecuación I.1.7b) es una función de salida, $f aw(x)$ una función de entrada y $J(e^{-x})$, se conoce como una función de filtro directo.

De esta manera, para calcular a la función transformada de resistividades, es necesario únicamente determinar a la función de filtro directo. Por lo que diversos autores han sugerido una gran variedad de técnicas para su cálculo. De las cuales se presentan las más importantes, en las siguientes secciones de este capítulo.

Para finalizar la presente sección, se hace un breve resumen de la Teoría del Análisis de Fourier. Debido a que la mayoría de las técnicas estudiadas a lo largo de este trabajo, están fundadas sobre los conceptos que esta teoría ofrece.

Dentro de la Teoría del Análisis de Fourier una función $h(x)$ cualquiera, puede ser representada por

$$h(x) = \int_{-\infty}^{\infty} H(k) e^{j2\pi kx} dk \quad I.1.8$$

siendo j la unidad imaginaria, x la variable independiente que representa al espacio y k el número de onda. $H(k)$ es una función compleja y se conoce como el espectro de $h(x)$. La ecuación I.1.8 es conocida como la Transformada Inversa de Fourier de $H(k)$. De una manera semejante $H(k)$ puede ser expresada como

$$H(k) = \int_{-\infty}^{\infty} h(x) e^{-j2\pi kx} dx \quad \text{I.1.9}$$

donde I.1.9 es la Transformada Directa de Fourier de $h(x)$ (se denotará en lo sucesivo a la Transformada Inversa de Fourier de la Función Filtro como $F(k)$. Mientras que $F(x)$ representará la función filtro en el dominio espacial).

La gran importancia de la Teoría del Análisis de Fourier en el diseño de filtros eléctricos de resistividad, se debe principalmente al teorema de la convolución, cuyo enunciado es; el espectro del número de onda de la función de salida es igual al producto de $F(k)$ por el espectro del número de onda de la función de entrada, esto es, sean $T(k)$ y $R(k)$ las transformadas de Fourier de la función transformada de resistividades y la función de resistividad aparente, respectivamente. Entonces, de acuerdo al teorema de la convolución, tenemos que

$$T(k) = R(k) \times D(k) \quad \text{I.1.10}$$

$$R(k) = T(k) \times I(k) \quad \text{I.1.11}$$

o, en forma alternativa como

$$D(k) = T(k) / R(k) \quad \text{I.1.12}$$

$$I(k) = R(k) / T(k) \quad \text{I.1.13}$$

donde $D(k)$ es el espectro del número de onda de la función de filtro directo e $I(k)$, es el espectro del número de onda para la función de filtro inverso.

CAPITULO I

1.2. Método de transformada de Fourier

En 1971, Ghosh propone una técnica para el diseño de filtros eléctricos de resistividad, llamada Teoría del Filtraje Lineal (mas ampliamente conocida como Método de Transformada de Fourier). A través de este método, es posible conocer a la $F(x)$, con una gran eficiencia. Los pasos que se llevan a cabo para su determinación, son:

- 1) Elección de un par de funciones auxiliares (ver sección II.1)
- 2) Obtención de las transformadas directas de Fourier para el par de funciones auxiliares de 1)
- 3) Realizar el cociente entre los espectros del número de onda del par de funciones auxiliares, mediante alguna de las ecuaciones I.1.12 o I.1.13; de acuerdo a la $F(x)$ que se desee determinar.
- 4) Tomar la transformada inversa de Fourier de la $F(x)$, calculada en el inciso 3.

Aunque, el procedimiento anteriormente descrito, esta enfocado para el cálculo de una $F(x)$ continua, también sirve para ejemplificar el caso de una $F(x)$ discreta. Pero, con sus respectivas modificaciones de acuerdo a la Teoría del muestreo (Brigham, 1974).

Los coeficientes (valores muestreados de la $F(x)$) así determinados, cumplen con la condición de que su suma es

CAPITULO I

igual a la unidad, debido a una propiedad de la función de Bessel de primera especie y orden uno (Bowman, 1958)

$$\int_0^{\infty} J_1(s) \frac{ds}{s} = 1 \quad 1.2.1$$

que sustituyendo $s=e^{-x}$ tenemos

$$\int_0^{\infty} J_1(e^{-x}) dx = 1 \quad 1.2.2$$

Por otra parte, para reducir el número de coeficientes obtenidos mediante este método, Koefoed (1972), propone una técnica que consiste en desplazar a la $F(x)$ hacia la izquierda una cantidad S , dada por

$$S = - \frac{\Delta x}{\pi} \phi(kn) \quad 1.2.3$$

donde Δx es el intervalo de muestreo usado y $\phi(kn)$ es el valor de la fase asociado al número de onda de corte. Consiguiendo con esto, muestrear a la $F(x)$ en puntos cercanos a los cruces con el eje x , evitando de esta forma, las crestas y los valles de dicha función.

Así entonces, la integral de convolución I.1.7b puede ser expresada como

$$T(y) = \int_0^{\infty} f(x+s) J_1(e^{-(y-x-S)}) dx \quad 1.2.4$$

ya que trabajamos con sistemas invariables en el tiempo.

Para incorporar la técnica de desplazamiento mencionada, dentro del cálculo de la $F(x)$, es necesario añadir (al inicio del método anteriormente presentado), el siguiente conjunto de pasos:

CAPITULO I

- a) Muestrear, el par de funciones auxiliares, al doble del intervalo de muestreo, para el que se desea conocer la $F(x)$
- b) Obtener la Transformada Directa de Fourier del par de funciones auxiliares muestreados en a)
- c) Realizar el cociente entre los espectros del número de onda, del par de funciones auxiliares; según el tipo de filtro que desee (ecuaciones I.1.12 y I.1.13)
- d) Establecer el valor de $\theta(kn)$ correspondiente al intervalo de muestreo deseado
- e) Calcular el desplazamiento S , a través de la ecuación I.2.3.

Hay que hacer notar que las etapas a y d antes mencionadas, se toma en cuenta el efecto de "aliasing" en el cálculo de la $\theta(kn)$ correspondiente al valor de Δx deseado, esto es; sean $\Delta x = \ln(10)/B$ el intervalo de muestreo deseado, entonces, para evitar la modificación del espectro de fase se utiliza un nuevo intervalo de muestreo de $\Delta x = \ln(10)/16$, con el cual se calcula (a la mitad de este nuevo intervalo) el $\theta(kn)$ para el Δx deseado.

Para lograr una mejor comprensión de la aplicación de la técnica de desplazamiento dentro del método de Transformada de Fourier. Se presenta en el apéndice A, el listado del programa Filter (Sears, 1979). Así como también se muestra, en la figura I.2.1, su diagrama de flujo.

CAPITULO I

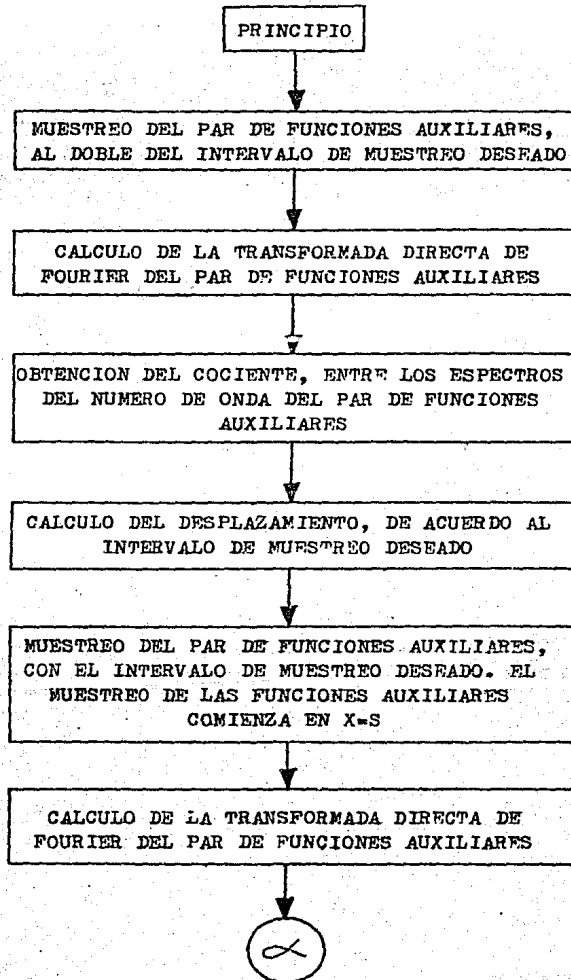
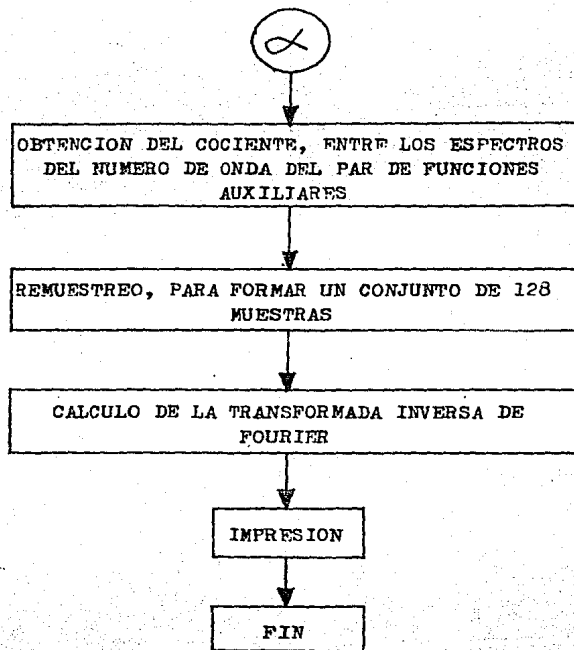


Fig. 1.2.1

CAPITULO I



CONT. FIG. 1.2.1

CAPITULO I

El mayor inconveniente que se tiene al utilizar el Método de Transformada de Fourier es de que se requiere de un gran tiempo de cálculo y memoria de computadora.

1.3. Método de integración directa

Para el cálculo de la $F(x)$ por este método, es requisito necesario que en las expresiones matemáticas que relacionan a $P(x)$ y $T(y)$, aparezcan en forma explícita según sea el caso de un filtro inverso o un directo, respectivamente. Esto implica, su reducida aplicación práctica.

El método consiste en encontrar una expresión para la $F(x)$, que permita evaluar integrales del tipo

$$T(\lambda) = \int_0^{\infty} \frac{P(s)}{s} J_1(\lambda s) ds \quad 1.1.4b$$

mediante algún procedimiento de integración directa.

Un análisis de esta técnica ha sido presentado por Bernabini y Cardarelli (1978), quienes desarrollan su estudio para el dispositivo Schlumberger.

Bernabini y Cardarelli, utilizan un cambio de variables similar al de Ghosh, $x = \lg(s)$ y $y = -\lg(\lambda)$, logrando así que la ecuación de arriba se convierta en

$$T(y) = \text{Ln}10 \int_0^{\infty} P(x) J_1\left(\frac{1}{10^{y-x}}\right) dx \quad 1.3.1$$

donde $J_1(1/10^{y-x})$ es la $F(x)$ a determinar.

Si se introduce una variable Δx , que representa un incremento logarítmico constante, a la ecuación 1.3.1, tenemos

CAPITULO I

$$T(y) = \text{Ln}10 \int_{-\infty}^{\infty} \left[\sum_{n=-\infty}^{\infty} \rho \text{ as}(n\Delta x) \text{ sinc}(x-n\Delta x) J_1\left(\frac{1}{10^{x-y}}\right) dx \right] \quad \text{I.3.2}$$

la cual también puede ser escrita como

$$T(m\Delta x) = \sum_{n=-\infty}^{\infty} \rho \text{ as}(n\Delta x) J_{1F}\left(\frac{1}{30^{\Delta x(m-n)}}\right) \Delta x \quad \text{I.3.3}$$

donde $y=m\Delta x$ y $J_{1F}(x)$ es derivada de la convolución de las funciones de Bessel y sinc, es decir

$$J_{1F}(x) = 2.3026 \int_{-\infty}^{\infty} \text{sinc}(t) J_1\left(\frac{1}{10^{x-t}}\right) dt \quad \text{I.3.4}$$

expresión que puede ser calculada en forma discreta por el sistema

$$J_{1F}(n\Delta a) = 2.3026 \sum_{k=L}^M J_1(10^{-k\Delta a}) \frac{\text{sen}[2\pi kc(n-k)\Delta a]}{\pi(n-k)\Delta a} \quad \text{I.3.5}$$

donde Δa es el intervalo de muestreo y kc es el número de onda de corte de la función sinc (Brigham, 1974).

De la ecuación I.3.5 se observa que otro inconveniente dentro de este método, es evaluar a los parámetros $l, m, \Delta a$ y kc . Además, debido al comportamiento oscilatorio de la función de Bessel, el valor de $J_{1F}(x)$ dependerá del último semi-arco considerado, correspondiente al límite superior de integración. Haciendo por lo tanto este método muy laborioso, pero que puede ser utilizado cuando se cuenta con una computadora de memoria reducida.

I.4. Método de mínimos cuadrados

La determinación de los coeficientes de la $F(x)$ mediante

CAPITULO I

este método, se realiza a través de un ajuste. De tal modo que los cuadrados de las diferencias entre una función de salida actual de la $F(x)$ y una salida deseada, es minimizada.

Para la explicación del método se empleará la siguiente notación, sobre las funciones involucradas.

$$f_i = \{ f_0, f_1, f_2, \dots, f_n \} \quad \text{I.4.1a}$$

$$e_i = \{ e_0, e_1, e_2, \dots, e_n \} \quad \text{I.4.1b}$$

$$a_i = \{ a_0, a_1, a_2, \dots, a_{n+m} \} \quad \text{I.4.1c}$$

$$d_i = \{ d_0, d_1, d_2, \dots, d_{n+m} \} \quad \text{I.4.1d}$$

donde f_i representa a los coeficientes de la $F(x)$, e_i , a_i y d_i son los valores muestreados de la función de entrada, función de salida actual y función de salida deseada. Cabe destacar que la función de salida deseada y la función de entrada, pertenecen al grupo de funciones auxiliares (ver sección II.1). Con la notación anterior es posible escribir, en forma discreta, la ecuación I.1.7c de la siguiente manera

$$a_i = \sum_{j=0}^n f_j e_{i+j} \quad \text{I.4.2}$$

Sea E_{mc} la suma de los cuadrados de las diferencias entre las funciones de salida actual y deseada, es decir

$$E_{mc} = \sum_{i=0}^{n+m} [a_i - d_i]^2 \quad \text{I.4.3}$$

para que E_{mc} sea un mínimo, las derivadas parciales con respecto a todos los coeficientes de la $F(x)$, deben de ser cero. El coeficiente de la $F(x)$ con respecto a la cual se

CAPITULO I

toma la derivada parcial será denotado por el subíndice p. Derivando parcialmente e igualando a cero, tenemos

$$\sum_{i=0}^{n+m} \left[\sum_{j=0}^n (f_j e_{i+j}) - d_i \right] e_{i+p} = 0 \quad \text{I.4.4}$$

de donde

$$\sum_{i=0}^{n+m} \left[\sum_{j=0}^n (f_j e_{i+j}) e_{i+p} - d_i e_{i+p} \right] = 0$$

reordenando sumatorias

$$\sum_{j=0}^n f_j \sum_{i=0}^{n+m} (e_{i+j} e_{i+p}) = \sum_{i=0}^{n+m} d_i e_{i+p}$$

y que puede ser escrita como

$$\sum_{j=0}^n f_j r_{j-p} = g_p \quad \text{I.4.5}$$

donde r_{j-p} es la autocorrelación de la función de entrada y g_p la cross-correlación de la función de entrada con la función de salida deseada. Si se considera que p varia de 0 a n, entonces la ecuación I.4.5 representa un sistema de ecuaciones lineales, que se escribe como

$$\begin{aligned} r_0 f_0 + r_1 f_1 + r_2 f_2 + \dots + r_n f_n &= g_0 \\ r_1 f_0 + r_0 f_1 + r_1 f_2 + \dots + r_{n-1} f_n &= g_1 \\ r_2 f_0 + r_1 f_1 + r_0 f_2 + \dots + r_{n-2} f_n &= g_2 \\ \dots & \\ r_n f_0 + r_{n-1} f_1 + r_{n-2} f_2 + \dots + r_0 f_n &= g_n \end{aligned}$$

y tiene la característica, de que la matriz de los coeficientes en, r, es simétrica con respecto a la diagonal

CAPITULO I

principal, propiedad que ha sido convenientemente aprovechada en el proceso de solución, por el algoritmo publicado por Levinson (1949).

Un inconveniente que presenta este método, está relacionado a la solución del sistema de ecuaciones lineales. Ya que en el caso de ser aplicado para la determinación de los coeficientes de una $F(x)$ de longitud grande, es necesario aumentar el orden de las matrices. Lo cual implica, un mayor tiempo de cálculo y memoria de computadora.

I.5. Método de transformada-Z

El método descrito en esta sección, tiene la restricción importante, de que no puede ser aplicado con éxito a todos los tipos de $F(x)$, que se presentan en los sondeos eléctricos verticales.

La transformada-Z de una función $H(z)$ cualquiera, está representada por la siguiente serie exponencial.

$$H(z) = h_1 z^1 + h_2 z^2 + \dots + h_m z^m \quad 1.5.1$$

donde los coeficientes h_j , son los valores muestreados en forma equidistante de la función $H(z)$, y los términos z pueden ser expresados como

$$z = e^{-j2\pi k \Delta x} \quad 1.5.2$$

siendo j la unidad imaginaria, Δx el intervalo de muestreo y k el número de onda. El método de transformada-Z permite

CAPITULO 1

establecer, en forma análoga a la Teoría del Análisis de Fourier, el teorema de la convolución (ver sección 1.1), mediante la sustitución de la ecuación 1.5.2 en la 1.5.1. Ya que al hacerlo, se establece el espectro del número de onda de una función $h(x)$. Por lo que, el espectro del número de onda de $F(x)$, es obtenida a través de la división entre las transformada-Z de las funciones de entrada y salida. Sin embargo, realizar este cociente en la práctica, implica mayores desventajas que utilizando el Método de Transformada de Fourier.

Los métodos tradicionalmente empleados para dar solución al cociente, antes mencionado, son división directa de polinomios y fracciones parciales (Oppenheim, 1975). No obstante, dichos métodos no ofrecen resultados satisfactorios para todas las $F(x)$ que se requieren conocer.

La principal ventaja que otorga este método, es que requiere menos espacio de memoria de computadora que el método de mínimos cuadrados.

1.6. Método de Mansinha

En la sección 1.2, se mencionó que aportaba ciertas ventajas prácticas desplazar la $F(x)$ una cantidad "B". Mansinha en 1984 propone un método en el cual, dicho desplazamiento se hace innecesario, al multiplicar por el filtro de Butterworth. De tal forma que el método presentado en esta sección, es solamente una variante del Método de Transformada de Fourier.

CAPITULO I

El filtro de Butterworth (Gold y Rader, 1969), pertenece a los filtros denominados recursivos, y se expresa en el dominio-k como

$$H(k) = \frac{1}{(1 + (k/k_c)^{2n})^{1/2}} \quad \text{I.6.1}$$

donde $H(k)$ representa el espectro de amplitud, k_c el número de onda de corte y n es el orden del filtro. Para n grande, $H(k)$ se aproxima a un pulso rectangular. Cuando n decrece sus aristas se van redondeando al mismo tiempo que las pendientes disminuyen.

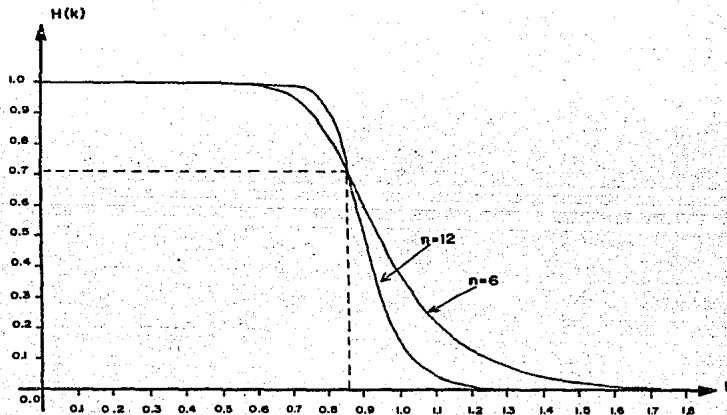


Fig. 1.6.1

$H(k)$ es simétrico alrededor del número de onda cero y para $k=k_c$ el filtro siempre toma el valor de $1/\sqrt{2}$.

CAPITULO I

El método propuesto por Mansinha, consiste en muestrear directamente la función de Bessel $d(x)=J_1(e^{-x})$, con un intervalo de muestreo $\Delta x = \ln(10)/3000$, sobre un rango de $9.5 = x = 9.5$. Valores que son transformados al dominio-k por medio de la ecuación I.1.9. De esta manera se forma un conjunto de 25,000 muestras que se conoce como grupo de alta densidad (GAD).

A partir del GAD se elabora otro conjunto de valores, grupo de trabajo (GT), con un $\Delta x = \ln(10)/60$ y un total de 500 muestras, y es construido del siguiente modo. El número de onda de corte correspondiente a este nuevo intervalo de muestreo, es de $kc = 13.029$, sin embargo, para minimizar los efectos de los altos números de onda, se elige el valor de 5.214. Así entonces, se multiplica al GAD por el filtro de Butterworth, ecuación I.6.1, con los parámetros $kc = 5.214$ y $n = 6$. Esta operación es completada, reteniendo cada cincuentava muestra, incluyendo el valor correspondiente a $x = 0$.

El GT es de gran importancia dentro de este método, debido a que a partir de éste, se forman los coeficientes de la $F(x)$ con los intervalos de muestreo deseados.

Para obtener los coeficientes de la $F(x)$ con un intervalo de muestreo Δx_c (que cumpla con la condición de ser un submúltiplo del intervalo de muestreo del GT, Δx_{gt}) se tiene que determinar primero el número de onda de corte que mejor convenga a este intervalo de muestreo, para remover los altos números de onda. Así por ejemplo, en lugar de utilizar un $kc = 0.651$ correspondiente a $\Delta x_c = \ln(10)/3$, se elige un

CAPITULO I

$kc=0.706$. Después de ésto, se efectúa un producto entre el GT y el filtro de Butterworth con el nuevo kc y $n=6$, del que se seleccionará cada L muestra, dada por

$$L = \frac{\Delta X_c}{\Delta X_{gt}}$$

cuidando conservar el punto en $k=0$. A los valores así obtenidos se les aplica, por último, la ecuación I.1.8 (en forma discreta).

La técnica utilizada para compensar el truncamiento de la función de Bessel, se aplica únicamente a los coeficientes de los extremos.

Sea b la integral dada por la ecuación I.2.2, la cual puede ser escrita como

$$b = \int_{-\infty}^{x_1} d(x) dx + \int_{x_1}^{x_M} d(x) dx + \int_{x_M}^{\infty} d(x) dx = 1 \quad \text{I.6.2}$$

donde $b = S_1 + S_2 + S_3$ y el rango de truncamiento de la función de Bessel es $x_1 \leq x \leq x_M$. De tal forma que la sub-integral S_3 , puede ser calculada mediante la ecuación (Bowman, 1958)

$$S_3 = \int_{x_M}^{\infty} \left[\frac{e^{-x}}{2} - \frac{e^{-3x}}{16} - \frac{e^{-5x}}{98} - \dots \right] dx \quad \text{I.6.3}$$

que resolviendo y sustituyendo límites tenemos

$$S_3 = \frac{e^{-x_M}}{2} - \frac{e^{-3x_M}}{48}$$

así, el coeficiente correspondiente a x_M , $d(x_M)$, es modificado a

$$\tilde{d}(x_M) = d(x_M) + S_3 / (0.5\Delta kc)$$

CAPITULO I

donde la tilde (\sim) indica el coeficiente modificado y el factor $(0.5\Delta x_c)$ se debe a que Mansinha utiliza la regla Trapezoidal para resolver la integración. Por lo que la ecuación I.6.2, queda representada como

$$b = S_1 + \tilde{S}_1$$

Ahora, el valor de S_1 esta incluido en \tilde{S}_1 . Si $b \neq 1$, entonces se modifica el valor de $d(x_i)$, tal que b sea igual a la unidad, de la siguiente forma

$$d(x_i) = d(x_i) + (1 - \tilde{S}_1) / (0.5\Delta x_c)$$

Uno de los mayores inconvenientes que se encuentra a este método, es que para la determinación de los coeficientes de la $F(x)$, se requiere de la elaboración de dos conjuntos de valores muestreados, GD y GT , para los cuales se tiene que invertir un gran tiempo y memoria de computadora. Por otro lado, solamente se pueden diseñar coeficientes de $F(x)$ con un intervalo de muestreo que sea compatible con el del GT .

CAPITULO II

II. METODOS ALTERNOS EN EL DISEÑO DE FILTROS

Con el objeto de eliminar el desplazamiento propuesto por Koefoed (1972) para los filtros eléctricos de resistividad, se presentan en este capítulo dos métodos.

El primer método consiste en realizar una multiplicación entre la $F(k)$ calculada con desplazamiento cero y el filtro de Butterworth. El producto se lleva a cabo modificando el número de onda de corte correspondiente al intervalo de muestreo usado, así como también, el orden del filtro. En el segundo método, se multiplica a la $F(x)$ calculada con desplazamiento cero, por la ventana de Hanning, función que tiende a cero hacia los extremos.

La ejecución de los métodos anteriores se realiza mediante el apoyo del programa FILTER implementado por Sears (Sears, 1979), y únicamente se trabaja para el caso del filtro directo del dispositivo Schlumberger.

II.1. Relación de funciones

Se conoce con el nombre de funciones auxiliares, a aquellas funciones que al ser sustituidas por $T(\lambda)$ en I.1.4a y I.1.4c o por $J_n(s)$ en I.1.4b y I.1.4d proporcionan una expresión apropiada para la función de resistividad aparente o la función de transformada de resistividades, según sea el caso. Dichas funciones fueron establecidas por Koefoed en 1968. La principal utilidad que ofrecen dentro del diseño de

CAPITULO II

filtros eléctricos de resistividad, es que permiten calcular la $F(x)$ mediante los métodos I.2, I.4, I.5 y I.6 descritos en el capítulo anterior, así como también, presentan la posibilidad de analizar su eficiencia.

Las funciones auxiliares pueden ser obtenidas a través de diversas técnicas. Una de las cuales utiliza la integral de Lipchitz, que se expresa como

$$\int_0^{\infty} e^{-s\lambda} J_0(\lambda r) d\lambda = 1 / (q^2 + r^2)^{1/2} \quad \text{II.1.1}$$

ecuación que al ser derivada parcialmente con respecto a q y r , esta representada por Koefoed (1979)

$$\int_0^{\infty} [s e^{-s\lambda}] \lambda J_1(\lambda r) d\lambda = 3qr / (q^2 + r^2)^{5/2} \quad \text{II.1.2}$$

haciendo $s=r$ y multiplicando por q , es posible compararla con I.1.4a, de donde Koefoed (1979)

$$T(\lambda) = q\lambda e^{-q\lambda} \quad \text{II.1.3}$$

$$Pas = 3(s/q)^3 / (1 + [s/q]^2)^{5/2} \quad \text{II.1.4}$$

A las ecuaciones II.1.3 y II.1.4 se les denomina, por de funciones auxiliares para el dispositivo Schlumberger y tienen la propiedad de que se aproximan a cero a ambos lados de las abscisas (condición necesaria para que puedan ser empleadas en la determinación de la $F(x)$). Mediante otras técnicas se pueden determinar más pares de funciones auxiliares para el mismo dispositivo Schlumberger.

Con procedimientos similares al anterior es posible establecer expresiones que permitan comprobar la precisión de

la $F(x)$. Así por ejemplo, para el caso de un medio de dos capas con resistividades ascendentes tenemos Koefoed (1979)

$$T(x) = \rho_1 + (\rho_2 - \rho_1) (1 - e^{-e^{-x}}) / e^{-x} \quad \text{II.1.5}$$

$$\rho_{as}(x) = \rho_1 + (\rho_2 - \rho_1) e^x / (1 + e^{2x})^{1/2} \quad \text{II.1.6}$$

y para un medio de dos capas con resistividades descendentes Koefoed (1979)

$$T(x) = \rho_2 + (\rho_1 - \rho_2) e^{-x} / (1 + e^{-2x})^{1/2} \quad \text{II.1.7}$$

$$\rho_{as}(x) = \rho_2 + (\rho_1 - \rho_2) e^{-e^x} (1 + e^x) \quad \text{II.1.8}$$

Las expresiones II.1.5 a II.1.8 son mejor conocidas como funciones sintéticas.

II.1.1. Aplicación del filtro de Butterworth

En la sección I.6 se explica el método que utilizó Mansinha para evitar el desplazamiento de la $F(x)$. Sin embargo, un comentario para el buen empleo de dicha técnica se encuentra en (Tejero, González y León, 1986). En esta sección, se presenta, un método que está basado en la idea central de Mansinha de utilizar el filtro de Butterworth.

Los coeficientes de la $F(x)$ son calculados por el método de transformada de Fourier, utilizando el programa FILTER diseñado por Seara.

Como se había mencionado en la sección I.2, es conveniente dar un desplazamiento a los valores de la $F(x)$

CAPITULO II

para evitar el efecto de armónicos indeseados que acabarían por distorsionar la señal. Pues bien, si se omitiera ese desplazamiento se tendría que idear un sistema compensativo. Por lo que se propone en esta sección, utilizar el filtro de Butterworth (el cual será referido en lo subsecuente como FB), cuya aplicación se describe a continuación.

- 1) Evaluar, para los mismos números de onda de la $F(k)$, el FB, mediante la ecuación I.6.1.
- 2) Multiplicar a la $F(k)$ por el FB, para cada uno de los números de onda, a los cuales han sido evaluados.

Esta secuencia de pasos es anexado entre los puntos 3 y 4 del procedimiento de transformada de Fourier (sección I.2). En forma complementaria, para la mejor comprensión de la aplicación de esta técnica, se presenta en el apéndice B, el listado de modificaciones efectuadas sobre el programa FILTER, así como también se muestra en la figura II.1.1.1, el correspondiente diagrama de flujo.

Con el objeto de optimizar los coeficientes de la $F(x)$, fueron diseñadas dos pruebas. Las cuales consisten en; modificar el orden del FB y, en la variación del número de onda de corte correspondiente (ver sección I.6).

Para la prueba concerniente a la modificación del orden del FB, representado por n . Se hizo variar a n de 1 a 12, con un número de onda de corte constante del FB, de $k_c=1.7371$. Los resultados obtenidos indicaron que, cuando n crece, la $F(x)$ se hace más inexacta. Esto se explica directamente de

CAPITULO II

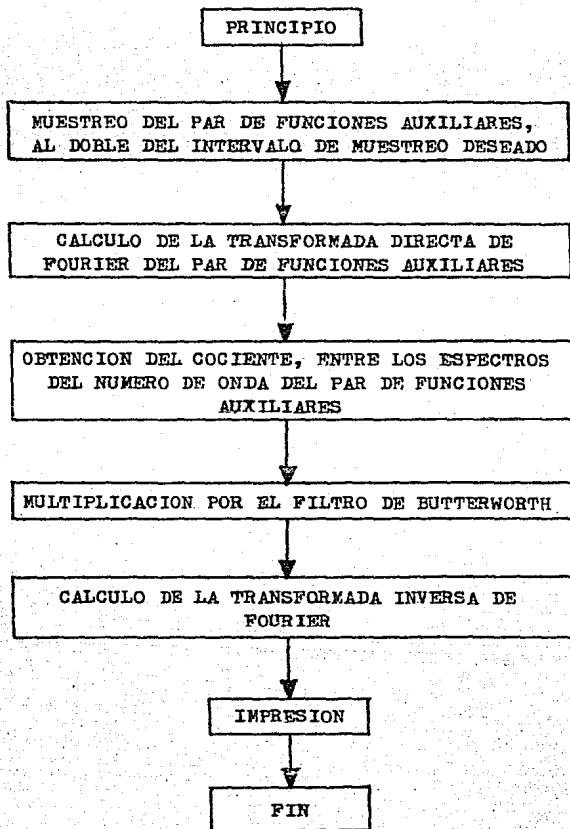


Fig. 4.111

CAPITULO II

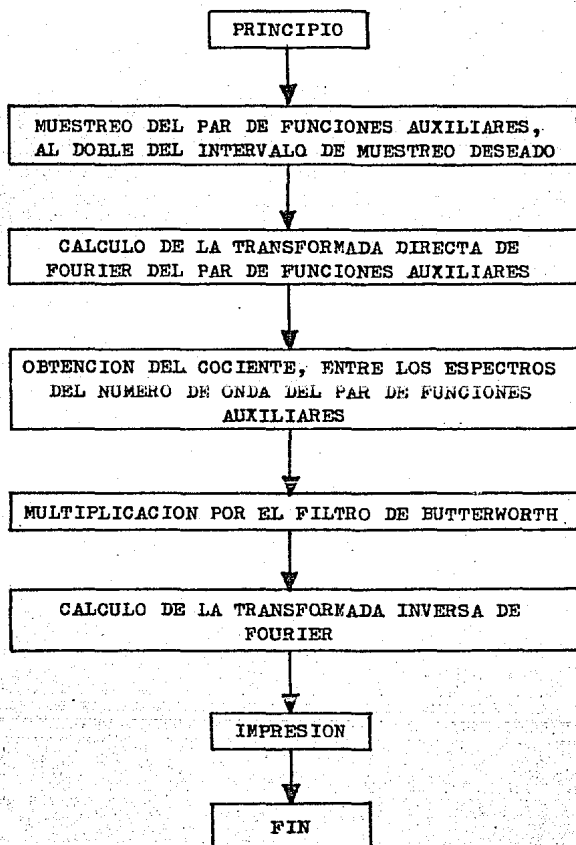


Fig. II.1.1

CAPITULO II

las características del FB, de acuerdo al cual, cuando n es grande se aproxima a un pulso rectangular, lo que implica que disminuye la atenuación de los números de onda grandes correspondientes al fenómeno de rizado. Por otro lado, cuando n es pequeña, la $F(x)$ tampoco es muy satisfactoria, no obstante, los errores observados tienden a ser mucho menores.

Para la segunda prueba correspondiente a la variación del número de onda de corte del FB, se utilizaron valores para kc de $3kc/4$, $2kc/3$ y $kc/2$, con una n comprendida en el rango de 1 a 12, y se observó que mientras más pequeño era el valor de la kc , la $F(x)$ tendía a ser más adecuada, sin embargo, no se pudo obtener de cualquier modo una $F(x)$ satisfactoria. La razón que se da a este resultado es que al variar el número de onda de corte se atienden los números de onda de los extremos los cuales son erróneos por la naturaleza del Método de Transformada de Fourier.

La aplicación combinada de las dos técnicas anteriores ofrece resultados más convenientes, esto se explica si se analiza cuidadosamente el segundo término del denominador de la ecuación 1.6.1. Ya que el comportamiento del filtro de Butterworth depende de dos variables, n y kc , y no de una sola. Las pruebas fueron realizadas tomando en cuenta todas las posibles combinaciones entre los valores que se utilizaron para n y kc , en los ensayos precedentes.

Un resultado interesante de esta prueba se observó al momento de ir decrementando kc e incrementando n en forma paulatina. Se encontró que existe un valor de kc y n límites, entre los rangos de $0.66kc \leq kc \leq 0.75kc$ y $4 \leq n \leq 5$ respectivamente,

CAPITULO II

para los cuales se manifiesta un cambio en la eficiencia de la $F(x)$, es decir, sean k_{c1} y n_1 dichos valores, entonces cuando $n < n_1$ y $k_c > k_{c1}$ la corrección por medio del FB en lugar de aumentar la eficiencia de los coeficientes de la $F(x)$ la disminuyen, y por otra parte, cuando $n > n_1$ y $k_c < k_{c1}$, la eficiencia de los coeficientes de la $F(x)$ tiende a ser más adecuada. Dicho comportamiento no pudo ser establecido en forma matemática, empero, se consideró importante enunciarlo como base para estudios posteriores.

La técnica empleada para la compensación por truncamiento de la $F(x)$, fue la que se utiliza tradicionalmente para el Método de Transformada de Fourier. La cual consiste en sumar todos los coeficientes de la $F(x)$ y compararlos con respecto a la unidad. La discrepancia que exista entre estos valores es agregada a los coeficientes de los extremos.

Por otra parte, para analizar la veracidad de los coeficientes de la mejor $F(x)$ obtenida en esta sección (con un $n=12$ y $0.5k_c$, y cuya gráfica correspondiente al filtro de Butterworth se presenta en la figura I.6.1), se diseñó un programa de convolución, CONVOLUS (ver apéndice C), que simula un modelo de dos capas con resistividades ascendentes; para un contraste de resistividades de $1:10^6$, y un intervalo de muestreo de $\Delta x = \ln(10)/8$, de acuerdo a las ecuaciones II.1.5 y II.1.6.

Los resultados de la aplicación de este filtro, así como los coeficientes del mismo, serán presentados en el siguiente capítulo.

II.1.2. Aplicación de la función ventana de Hanning

Los datos de resistividad aparente tomados en campo, estan implicitamente afectados por una función ventana. Desafortunadamente, los efectos que esta provoca, no son siempre los más convenientes, debido a que una función ventana tiende a distorsionar el espectro del número de onda de la señal. Por lo tanto, en esta sección, se analiza la posibilidad de utilizar una función ventana que minimize dicho efecto, sobre la señal medida.

La eficiencia de una función ventana esta determinada por: la forma y la longitud. Características que pueden ser analizadas apropiadamente en el dominio-k.

Se entiende por forma de una función ventana, a la disposición geométrica que esta adquiere al ser representada gráficamente, sea por ejemplo, la función ventana rectangular.

Se observa mediante un análisis del espectro del número de onda, que todos los tipos de funciones ventana, implican una cierta distorsión, la cual es deseable minimizar. Por tal motivo, se resumen las siguientes propiedades que debe de cumplir cualquier función ventana, en el dominio-k y sus correspondientes al dominio-x (Bath, 1974):

- 1) Una alta concentración en el lóbulo principal: requiere una función ventana amplia.
- 2) Lóbulos pequeños a ambos lados del lóbulo principal:

CAPITULO IV

require de una función ventana de pendientes suaves y esquinas redondeadas.

Por otra parte, un análisis del espectro del número de onda relacionado con la longitud de las funciones ventana, se resume en (Bath, 1974):

- 1) Una longitud grande implica mejor resolución
- 2) Una longitud pequeña implica mejor estabilidad.

De lo anterior se concluye que no es posible encontrar una función ventana que no implique distorsión, no obstante, se puede dar una buena aproximación, mediante un procedimiento de ensayo y error, considerando los diferentes factores mencionados anteriormente.

En la presente sección se analiza la posibilidad de eliminar el desplazamiento de la $F(x)$, mediante el manejo de una función ventana. Para tal efecto, se ha utilizado la función ventana de Hanning (que será abreviada en lo sucesivo como $VH(x)$)

$$VH(x) = 0.5 + 0.5 \cos(2\pi x/T) \quad 0 \leq x \leq T \quad \text{II.1.2.1}$$

donde T representa el periodo de la función ventana de Hanning. Cabe señalar que la elección de la $VH(x)$ no está basada sobre consideraciones teóricas rigurosas relacionadas con el tipo de señal a la cual fue aplicada.

Para la ejecución del método se necesita recurrir al programa FILTER, explicado en la sección I.2. De esta manera, el método consiste en multiplicar a los coeficientes de la

CAPITULO II

$F(x)$ calculados con desplazamiento cero, obtenidos con el programa FILTER, por los correspondientes valores de la $VH(x)$ previamente discretizada, para las mismas abscisas de la $F(x)$ (para la mejor comprensión del procedimiento que se llevó a cabo, se presenta el diagrama de flujo, en la figura II.1.2.1).

El procedimiento anteriormente descrito, es equivalente a convolucionar a la $F(k)$, con la función $VH(K)$ (Transformada Directa de Fourier de la ventana de Hanning).

Los resultados que se obtienen al aplicar esta técnica, no son satisfactorios. Sin embargo, a criterio del autor, es importante remarcar que existe una relación entre, la deficiencia de los resultados encontrados y el tipo de función ventana utilizada. Por lo que sugiere; elegir a la función ventana mediante un procedimiento de ensayo y error, o como también lo plantea (Bath, 1974), a través de un efecto combinado entre varias funciones venatana. De esta manera, la veracidad de la técnica propuesta, podrá ser mejor analizada. Lo cual queda abierto para investigaciones posteriores.

Los resultados de la aplicación de este filtro, así como los coeficientes del mismo, son presentados en el siguiente capítulo.

CAPITULO II

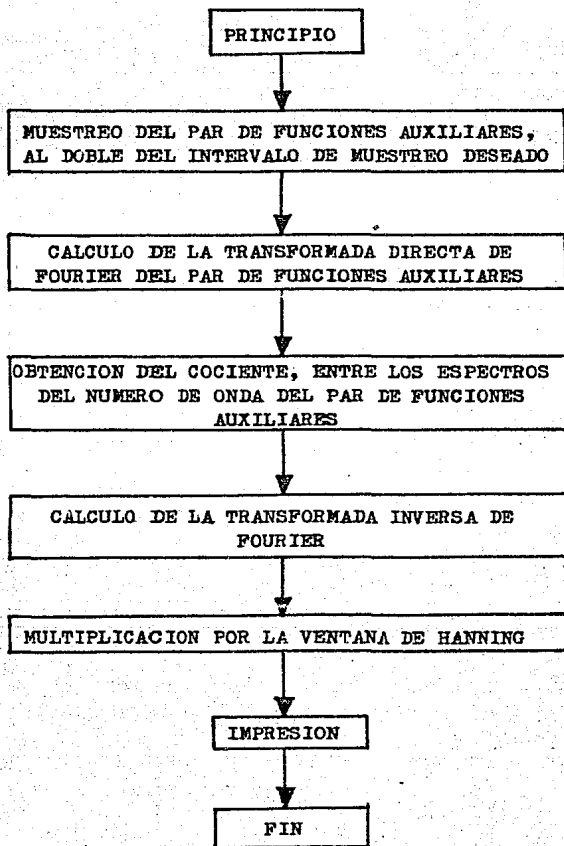


Fig. II.12.1

III. ANALISIS Y DISCUSION DE RESULTADOS

En el presente capítulo se hace una discusión de los resultados obtenidos al aplicar los métodos estudiados en las secciones II.1.1 y II.1.2, mediante el apoyo de diversas tablas comparativas. Con el propósito de poder analizar los diferentes aspectos que estos métodos presentan, en relación a las técnicas tradicionalmente empleadas para el cálculo de la $F(x)$.

En la primera columna de las tablas III.1 y III.2, se muestran las abscisas comprendidas en el rango de $18.4207 \leq x \leq 18.1329$, con un intervalo de muestreo de $\Delta x = \ln(10)/8$. Para las cuales fueron calculadas las $F(x)$, propuestas en las secciones II.1.1 y II.1.2 (donde dichas $F(x)$ serán aludidas como $FFB(x)$ y $FVH(x)$, respectivamente). En la siguiente columna de las tablas III.1 y III.2, se muestran las funciones transformada de resistividades, obtenidas al convolucionar a la $FFB(x)$ y la $FVH(x)$, con la expresión II.1.6, respectivamente; mediante la utilización del programa CONVDLUS (ver apéndice C); con un contraste de resistividades de $1:10^6$. En la tercera columna de ambas tablas, se muestra la función transformada de resistividades exacta, obtenida a partir de la ecuación II.1.5. Por último, dentro de cada tabla, se muestra el error relativo puntual en por ciento, entre las dos funciones transformada de resistividades mencionadas, y que ha sido calculado a través de la expresión

I A B L A III.1

FUNCION TRANSFORMADA DE RESISTIVIDADES (T(Y)), ENCOTRADA A PARTIR DE LA CONVOLUCION DE LA F(X) (DETERMINADA AL APLICAR EL FILTRO DE BUTTERWORTH) Y LA FUNCION DE RESISTIVIDAD APARENTE.

ABSCISAS LN	T(Y) CALCULADA (CON FILTRO BUTTERWORTH)	T(Y) EVALUADA (VALOR EXACTO)	ERROR En %
-18.4207	1.0206283397	1.009999797	1.052330849
-18.1525	1.024229494	1.01333340	1.124491132
-17.8445	1.029821285	1.01776338	1.182756108
-17.5522	1.036312077	1.02371339	1.233363044
-17.2894	1.044597572	1.03162058	1.286394532
-17.0816	1.055375772	1.04210864	1.345371502
-16.6937	1.069928496	1.05622364	1.422922465
-16.4059	1.088882286	1.07499907	1.512246596
-16.1181	1.114400034	1.09999999	1.616160000
-15.8303	1.144183012	1.13333488	1.722068974
-15.5425	1.179171915	1.17781476	1.795660371
-15.2546	1.225571859	1.23714356	1.166275701
-14.9668	1.33302037	1.31022443	1.103425881
-14.6790	1.55330811	1.42165934	0.973714334
-14.3912	1.81104128	1.56223187	0.882291482
-14.1034	2.15227707	1.74999186	0.853365390
-13.8156	2.59393939	2.00000000	0.855597009
-13.5277	3.13745393	2.33332211	0.855508687
-13.2399	3.79178939	2.77193221	0.855500383
-12.9520	4.56779393	3.33333333	0.855500383
-12.6642	5.48277632	4.00000000	0.855500383
-12.3764	6.54954519	4.77193221	0.855500383
-12.0886	7.86883822	5.66232486	0.855500383
-11.8008	9.45151900	6.77193221	0.855500383
-11.5129	11.32002050	8.09854494	0.855500383
-11.2251	13.49894212	11.00002446	0.855500383
-10.9373	15.99897212	14.33523204	0.855500383
-10.6495	18.93070657	18.78240629	0.855500383
-10.3617	22.33070657	24.71266727	0.855500383
-10.0739	26.23382225	32.62337859	0.855500383
-9.7861	30.66081111	43.17002256	0.855500383
-9.4983	35.66081111	57.23333253	0.855500383
-9.2105	41.25504422	75.98666937	0.855500383
-8.9227	47.55504422	100.39939374	0.855500383
-8.6349	54.55504422	134.35541383	0.855500383
-8.3471	62.25504422	176.82261336	0.855500383
-8.0593	70.75504422	233.81302476	0.855500383
-7.7715	80.15504422	317.21009512	0.855500383
-7.4837	90.45504422	422.27064933	0.855500383
-7.1959	101.75504422	563.27347736	0.855500383
-6.9081	114.15504422	750.87722366	0.855500383
-6.6203	128.65504422	1000.95228062	0.855500383
-6.3325	145.35504422	1334.56342622	0.855500383
-6.0447	164.35504422	1779.29342425	0.855500383
-5.7569	185.75504422	2372.33342425	0.855500383
-5.4691	209.65504422	3163.15665003	0.855500383
-5.1813	237.15504422	4217.70665003	0.855500383
-4.8935	268.35504422	5624.5001820	0.855500383
-4.6057	303.705125	7499.884521	0.855500383
-4.3179	343.31710	10000.09186	0.855500383
-4.0301	387.22417	13335.49490	0.855500383
-3.7423	435.92916	17784.20156	0.855500383
-3.4545	489.62247	23714.73175	0.855500383
-3.1667	548.33030	31623.31787	0.855500383
-2.8789	612.03678	42156.60892	0.855500383
-2.5911	680.74494	56230.68310	0.855500383
-2.3033	754.49999	74990.88418	0.855500383
-2.0155	834.31710	99994.97007	0.855500383
-1.7277	919.62247	133274.12277	0.855500383
-1.4399	1011.5924	177175.7789	0.855500383

CAPITULO III

T A B L A III.2

FUNCION TRANSFORMADA DE RESISTIVIDADES (T(Y)), ENCONTRADA A PARTIR DE LA CONVULSION DE LA F(X) (DETERMINADA AL APLICAR LA VEJIANA HANNING) Y LA FUNCION DE RESISTIVIDAD APARENTE.

ABSCISAS LN	T(Y) CALCULADA (VENTANA HANNING)	T(Y) EVALUADA (VALOR EXACTO)	ERROR EN %
-18.4207	1.002406582	1.009999797	0.751603633
-18.1329	1.005743517	1.013333336	0.252555555
-17.8450	1.010194716	1.017783389	0.745607933
-17.5572	1.016128069	1.023771398	0.741601878
-17.2694	1.024039926	1.031622333	0.735605054
-16.9816	1.034588848	1.042216666	0.727272727
-16.6937	1.048655922	1.056622444	0.717733333
-16.4059	1.067241557	1.074999000	0.704617778
-16.1181	1.092577572	1.099999000	0.688888844
-15.8303	1.125774590	1.133333333	0.666666633
-15.5425	1.170274590	1.157777778	0.633333322
-15.2546	1.229566747	1.183333333	0.600000021
-14.9668	1.308467118	1.211111111	0.555555515
-14.6790	1.414099379	1.250000000	0.500000000
-14.3912	1.554771493	1.300000000	0.433333333
-14.1033	1.742229888	1.366666667	0.355555572
-13.8155	1.992336666	1.450000000	0.277777722
-13.5277	3.325227333	2.200000000	0.333333399
-13.2399	7.770493333	2.233333333	0.328282828
-12.9520	3.363668772	3.300000000	0.323333333
-12.6642	1.544667928	4.400000000	0.318181818
-12.3764	2.089966333	5.500000000	0.313131313
-12.0886	6.615133274	6.600000000	0.308080808
-11.8008	4.902337959	8.800000000	0.303030303
-11.5130	9.991637959	11.000000000	0.297979797
-11.2252	3.326331731	14.000000000	0.292929292
-10.9374	7.773331222	18.000000000	0.287878787
-10.6496	6.612297666	24.000000000	0.282828282
-10.3618	1.588116684	32.000000000	0.277777777
-10.0740	6.219604333	43.000000000	0.272727272
-9.7862	6.219604333	57.000000000	0.267676767
-9.4984	100.333294433	75.000000000	0.262626262
-9.2106	8.000773333	100.000000000	0.257575757
-8.9228	3.332944333	134.000000000	0.252525252
-8.6350	8.000773333	178.000000000	0.247474747
-8.3472	9.998102333	233.000000000	0.242424242
-8.0594	1.705533333	317.000000000	0.237373737
-7.7716	4.222655514	422.000000000	0.232323232
-7.4838	6.275566555	563.000000000	0.227272727
-7.1960	7.917174581	750.000000000	0.222222222
-6.9082	8.421666888	1000.000000000	0.217171717
-6.6204	1334.416668888	1334.000000000	0.212121212
-6.3326	4.101118533	1779.000000000	0.207070707
-6.0448	2.372083397	2372.000000000	0.202020202
-5.7570	2.821224114	3163.000000000	0.196969696
-5.4692	4.217022544	4217.000000000	0.191919191
-5.1814	9.9999.65745	5622.000000000	0.186868686
-4.8936	3.317744522	7499.000000000	0.181818181
-4.6058	1.110448486	10000.000000000	0.176767676
-4.3180	1.7782.36114	13335.000000000	0.171717171
-4.0302	2.3712.25133	17784.000000000	0.166666666
-3.7424	3.16119.64234	23714.000000000	0.161616161
-3.4546	4.2163.91397	31623.000000000	0.156565656
-3.1668	5.6229.79988	42163.000000000	0.151515151
-2.8790	7.4979.66648	56224.000000000	0.146464646
-2.5912	9.9997.55655	74999.000000000	0.141414141
-2.3034	1.33234.02253	100000.000000000	0.136363636
-2.0156	1.777090.01127	133335.000000000	0.131313131
-1.7278	2.33469.40119	177717.000000000	0.126262626
-1.4400	3.33469.40119	233645.000000000	0.121212121

CAPITULO III

$$E = ((| VC - VR |) / VR) \times 100 \quad \text{III.1}$$

donde E representa el error relativo en por ciento, VC el valor calculado y Vr el valor real.

Los resultados obtenidos para el error relativo en por ciento de la tabla III.1 (cuarta columna), muestran que FFB(x) trabaja en forma adecuada para el total de abscisas manejado. Con un error pico del 1.2%. Sin embargo, se debe de tomar en cuenta que dicho error se manifiesta en la parte negativa x de la función de Bessel, donde su comportamiento se vuelve altamente oscilatorio, y por ende, no es susceptible de ser calculado en forma precisa. Por otra parte, también se observa que el porcentaje de error para las abscisas grandes negativas, muestran una conducta predominantemente oscilatorio. Situación que casi no se presenta para las abscisas positivas.

Para la tabla III.2 se tiene que el error pico encontrado es del 0.7% ; incluyendo la parte oscilatoria de la función de Bessel. Manteniendo un porcentaje de error inferior al 0.1%, para las abscisas de $-11.8 \leq x \leq 1.4$. A partir de las cuales se observa un incremento del error porcentual hacia los extremos. Localizándose, de esta manera, los mayores errores porcentuales en las abscisas -18.4 y 18.1. Por otra parte, a pesar de que el error pico es del 0.7%, no hay que suponer que esta técnica, sea mejor que la presentada en la sección II.1.1 (tabla III.1). Debido a que para el rango de abscisas de $-10.9 \leq x \leq 18.1$, los errores porcentuales encontrados, son mayores para el caso de la FVH(x).

CAPITULO III

La tabla III.3 muestra, para las mismas abscisas de las tablas anteriores, las funciones transformada de resistividades calculadas a partir de la convolución, entre las $FFB(x)$ y $FVH(x)$, con la función de resistividad aparente dada por la ecuación II.1.6 (segunda y sexta columnas, respectivamente). Así como también, se presenta la función transformada de resistividades (tercera columna), obtenida al convolucionar la $F(x)$ de Mansinha de 22 coeficientes (calculada a través del programa desarrollado por Tejero, González y León, 1986) y la función de resistividad aparente, ecuación II.1.6. Asimismo, para la séptima columna, se tiene la función transformada de resistividades exacta, expresada por la ecuación II.1.5. Por comodidad en el manejo de esta tabla se añaden, las funciones transformada de resistividades, encontradas a través de la convolución entre la $F(x)$ original de Seara y la $F(x)$, también de Seara, pero sin desplazamiento (ver apéndice A), con la función de resistividad aparente expresada por la ecuación II.1.6 (cuarta y quinta columnas, respectivamente). Para las cuales, también fue aplicada, la compensación por truncamiento.

Para la tabla III.4 se presentan, de la segunda a la sexta columnas, los errores relativos en por ciento (ecuación III.1), de las funciones transformada de resistividades establecidas en la segunda, tercera, cuarta, quinta y sexta columnas de la tabla III.3, respectivamente.

Para iniciar una discusión acerca de los resultados obtenidos a partir del método de la sección II.1.1, es pertinente recordar, que esta técnica únicamente retoma la

T A B L A III.3

COMPARACION DE LAS DIFERENTES FUNCIONES TRANSFORMADA DE RESISTIVIDADES (Y(Y)), FOURIER/ DAS A TRAVES DE LA CONVOLUCION DE LAS F(X) (DISEÑADAS BAJO EL METODO DE TRANSFORMADA DE FOURIER), Y LA FUNCION DE RESISTIVIDAD APARENTE.

ABSCISAS LN	T(Y) CALCULADA (CON FILTRO BUTTERWORTH)	T(Y) CALCULADA (MANSIMIA 22 COEF.)	F(Y) CALCULADA SEARA (CON DES.)	T(Y) CALCULADA SEARA (SIN DES.)	F(Y) CALCULADA (VENTANA HANNING)	T(Y) EVALUADA (V. POR TABLA)
-18.1707	1.0206284	1.0099400	1.0090160	.98505527	1.0024066	1.0099988
-18.1729	1.0247295	1.0132600	1.0122892	.95577978	1.0057435	1.0133346
-17.8450	1.0298213	1.0176900	1.0167551	.98480909	1.0101947	1.0177834
-17.5572	1.0363427	1.0236000	1.0222772	.99323888	1.0161261	1.0237180
-17.2694	1.0446542	1.0314800	1.0308271	1.0065594	1.0240394	1.0310229
-16.9816	1.0553980	1.0419900	1.0415346	1.0168379	1.0343862	1.0402167
-16.6937	1.0687285	1.0560100	1.0557619	1.0248172	1.0474593	1.0567304
-16.4059	1.0848822	1.0747000	1.0746591	1.0335429	1.0671108	1.0760808
-16.1181	1.1140400	1.0996100	1.0994889	1.06685277	1.0922263	1.0992955
-15.8303	1.1471840	1.1323400	1.1332308	1.11070254	1.1257757	1.1333703
-15.5425	1.1791711	1.1771606	1.1777900	1.1466994	1.1476253	1.1771188
-15.2546	1.2515719	1.2362700	1.2371721	1.2059215	1.2295672	1.2371534
-14.9668	1.3307820	1.3150700	1.3163046	1.2856764	1.3086672	1.3152283
-14.6790	1.4355318	1.4201500	1.4217997	1.3905378	1.4146982	1.4213076
-14.3912	1.5761104	1.5602700	1.5624554	1.5311191	1.5504149	1.5602105
-14.1033	1.7648523	1.7472000	1.7500774	1.7188137	1.7422979	1.7472157
-13.8155	2.0151216	1.9963900	2.0001823	1.9689193	1.9892366	2.0001096
-13.5277	2.3466923	2.3286900	2.3336854	2.3024240	2.3256273	2.3336053
-13.2399	2.7913745	2.7718100	2.7784017	2.7471426	2.7709833	2.7784111
-12.9520	3.3473194	3.3629300	3.3710544	3.3604027	3.3636877	3.3710061
-12.6642	4.1787794	4.1509600	4.16225195	4.1312684	4.1544692	4.1509255
-12.3764	5.2294278	5.2017800	5.2171221	5.2105871	5.2084681	5.2105307
-12.0886	6.6349544	6.6030400	6.6233220	6.5921862	6.6151327	6.6030007
-11.8008	8.4168845	8.4716100	8.4987073	8.4674891	8.4902393	8.4716216
-11.5129	11.020201	10.9643000	11.0003400	10.969175	10.981616	11.000206
-11.2251	14.3456694	14.2874000	14.335135	14.304155	14.320316	14.287437
-10.9373	18.790872	18.7186000	18.7782467	18.751319	18.770332	18.718606
-10.6495	24.7366677	24.6275500	24.712673	24.681579	24.702632	24.6275071
-10.3616	32.9530372	32.5103000	32.5103708	32.592665	32.612577	32.5103066
-10.0738	43.7177382	43.0127000	43.169436	43.138874	43.158118	43.0127071
-9.7860	57.734548	57.0115000	57.233001	57.201422	57.219468	57.0115016
-9.4982	76.025008	75.7172000	75.986106	75.955477	75.971364	75.7172016
-9.2104	101.046690	100.635000	100.993200	100.96264	100.97804	100.635001
-8.9225	134.353822	133.876000	134.353200	134.32291	134.33291	133.876001
-8.6347	178.868733	178.188000	178.82527	178.79519	178.80073	178.188001
-8.3469	237.20153	237.279000	238.12828	238.09855	238.09910	237.279001
-8.0591	317.31925	316.676600	317.29931	317.14961	317.17666	316.676601

CONF. TANDA III.3

-7.7712	422.68577	421.19300	422.70296	422.67421	422.65515	422.70699
-7.4834	563.27386	561.32400	563.36693	563.30889	563.27505	563.34164
-7.1956	751.02674	748.18700	750.87103	750.84389	750.81776	750.87727
-6.9078	1901.1948	997.36800	1002.94600	1000.9201	1000.8427	1000.8543
-6.6199	1334.4902	1329.7800	1334.5529	1334.5276	1334.5107	1334.5293
-6.3321	1779.0991	1772.9200	1779.2791	1779.2570	1779.1012	1779.2938
-6.0443	2372.6783	2363.8400	2372.3184	2372.2997	2372.0840	2372.3338
-5.7565	3163.7324	3151.8600	3163.1306	3163.1170	3162.8217	3163.2567
-5.4687	4217.4929	4202.6500	4217.6710	4217.6652	4217.2624	4217.7061
-5.1804	5623.9933	5604.5100	5624.4528	5624.4517	5623.4125	5624.5602
-4.8930	7500.7051	7473.4300	7499.8208	7499.8439	7499.1634	7499.8855
-4.6052	10002.039	9965.8800	10000.606	10000.655	9999.6575	10000.692
-4.3174	13334.876	13290.200	13335.381	13335.467	13335.116	13335.445
-4.0295	17783.920	17726.400	17784.051	17784.193	17782.361	17784.262
-3.7417	23716.792	23643.700	23714.537	23714.757	23712.251	23716.732
-3.4539	31625.804	31542.700	31622.793	31623.124	31618.643	31623.690
-3.1661	42166.890	42092.100	42164.396	42168.876	42163.414	42168.839
-2.8782	56223.087	56201.700	56236.518	56237.185	56229.800	56236.839
-2.5904	74996.015	75075.500	74999.533	74991.434	74979.667	74996.832
-2.3026	99999.060	100325.000	99994.732	99995.846	99979.658	99994.813
-2.0148	133371.38	133967.000	133274.40	133275.70	133248.23	133274.813
-1.7270	177177.89	178210.900	177176.81	177176.18	177096.09	177178.78
-1.4391	233054.83	234792.000	233647.48	233648.72	233469.40	233648.38
-1.1513	302346.04	303809.000	302844.07	302844.67	302515.36	302844.59
-0.8635	382322.66	382977.000	382325.94	382326.37	381800.43	382321.59
-0.5757	467335.56	467735.000	467334.63	467334.65	466851.61	467334.22
-0.2878	552278.23	552545.000	552272.62	552272.41	551266.18	552270.25
0.0000	632124.19	632331.000	632124.67	632124.24	630845.79	632124.53
0.2878	703539.63	703687.000	703541.77	703541.59	701966.74	703541.27
0.5756	764379.71	764967.000	764379.17	764379.04	762879.75	764379.77
0.8635	815919.91	815972.000	815918.25	815918.18	813658.06	815919.42
1.1513	857361.93	857361.000	857361.93	857361.93	854659.26	857361.93
1.4391	890275.42	890315.000	890273.20	890273.20	887191.61	890273.20
1.7269	916128.15	916164.000	916128.31	916128.36	912822.51	916128.36
2.0147	936185.38	936210.000	936188.74	936188.78	932248.37	936188.78
2.3026	951627.29	951698.000	951627.36	951627.38	947225.49	951627.38
2.5904	963425.22	963442.000	963425.59	963425.59	960342.51	963425.59
2.8782	972415.99	972415.000	972415.99	972415.99	967207.71	972415.99
3.1661	979408.00	979422.000	979207.73	979207.73	974207.71	979207.73
3.4539	984354.56	984366.000	984354.01	984354.56	980435.56	984354.56
3.7417	988236.35	988249.000	988236.51	988236.51	982236.38	988236.51
4.0295	991161.06	991175.000	991161.02	991161.02	991161.02	991161.02
4.3174	993361.85	993384.000	993361.73	993361.71	993361.71	993361.71
4.6052	995010.45	995048.000	995010.86	995010.43	995010.43	995010.43
4.8930	996259.92	996304.000	996259.97	996259.97	996259.97	996259.97
5.1808	997193.59	997250.000	997193.56	997193.53	997193.53	997193.53

CONT. TABLA III.3

5. 4686	997894.49	997892.00	997891.44	997894.41	990785.30	997894.46
5. 7564	998420.47	998537.00	998420.46	998420.43	991220.17	998420.43
6. 0443	998815.28	998982.00	998815.30	998815.27	991533.03	998815.27
6. 3321	999111.42	999284.00	999111.41	999111.37	991772.56	999111.36
6. 6199	999333.57	999522.00	999333.54	999333.50	991941.34	999333.51
6. 9077	999500.17	999690.00	999500.16	999500.13	992088.15	999500.13
7. 1956	999718.91	999873.00	999718.90	999718.86	992255.14	999718.86
7. 4834	999718.91	999915.00	999718.91	999718.89	992275.17	999718.88
7. 7712	999841.92	999941.00	999841.91	999841.88	992275.49	999841.86
8. 0590	999881.46	999955.00	999881.45	999881.42	992333.68	999881.39
8. 3469	999911.11	999963.00	999911.10	999911.07	992351.95	999911.04
8. 6347	999933.35	999968.00	999933.34	999933.31	992355.13	999933.23
8. 9225	999955.02	999971.00	999955.01	999955.00	992374.02	999955.00
9. 2103	999962.52	999972.00	999962.52	999962.48	992374.45	999962.45
9. 4981	999962.52	999973.00	999962.52	999971.06	992384.34	999971.05
9. 7860	999971.91	999974.00	999971.90	999971.86	992384.74	999971.82
10. 0738	999978.94	999974.00	999978.92	999978.89	992384.33	999978.81
10. 3616	999984.21	999974.00	999984.20	999984.17	992384.11	999984.14
10. 6494	999988.16	999974.00	999988.15	999988.12	992384.27	999988.19
10. 9373	999991.13	999974.00	999991.12	999991.09	992384.58	999991.11
11. 2251	999993.35	999974.00	999993.34	999993.31	992384.60	999993.54
11. 5129	999995.02	999974.00	999995.01	999995.00	992384.35	999995.25
11. 8007	999995.27	999974.00	999995.26	999995.23	992384.86	999995.19
12. 0886	999997.21	999974.00	999997.20	999997.17	992384.88	999997.14
12. 3764	999997.91	999974.00	999997.90	999997.87	992384.03	999997.02
12. 6642	999998.44	999974.00	999998.43	999998.40	992384.14	999998.11
12. 9520	999998.84	999974.00	999998.83	999998.80	992384.21	999998.11
13. 2398	999999.13	999974.00	999999.12	999999.09	992384.29	999999.11
13. 5277	999999.35	999974.00	999999.34	999999.31	992384.32	999999.17
13. 8155	999999.52	999974.00	999999.51	999999.48	992384.33	999999.23
14. 1033	999999.65	999974.00	999999.63	999999.60	992384.34	999999.23
14. 3911	999999.74	999974.00	999999.73	999999.70	992384.32	999999.27
14. 6790	999999.81	999974.00	999999.80	999999.77	992384.33	999999.27
14. 9668	999999.86	999974.00	999999.85	999999.82	992384.34	999999.29
15. 2546	999999.90	999974.00	999999.89	999999.86	992384.34	999999.29
15. 5424	999999.93	999974.00	999999.92	999999.89	992384.34	999999.29
15. 8302	999999.95	999974.00	999999.94	999999.91	992384.34	999999.29
16. 1181	999999.97	999974.00	999999.96	999999.93	992384.34	999999.29
16. 4059	999999.98	999974.00	999999.97	999999.94	992384.34	999999.29
16. 6937	999999.99	999974.00	999999.98	999999.95	992384.34	999999.29
16. 9815	999999.99	999974.00	999999.99	999999.96	992384.34	999999.29
17. 2694	1000000.00	999974.00	999999.99	999999.97	992384.34	999999.29
17. 5572	1000000.00	999974.00	999999.99	999999.97	992384.34	999999.29
17. 8450	1000000.00	999974.00	999999.99	999999.97	992384.34	999999.29
18. 1328	1000000.00	999974.00	999999.99	999999.97	992384.34	999999.29

T A B L A III.4

COMPARACION DE LOS ERRORES RELATIVOS EN PORCIENTO, CALCULADOS PARA LAS DIFERENTES FUNCIONES TRANSFORMADA DE RESISTIVIDADES (T(Y)), PRESENTADAS EN LA TABLA III.3.

APPROXIMACION	T(Y) CALCULADA (CON FILTRO BUTTERWORTH)	T(Y) CALCULADA (MANEJADA 22 CBF.)	T(Y) CALCULADA SEARA (CON DES.)	T(Y) CALCULADA SEARA (SIN DES.)	T(Y) CALCULADA (CON FILTRO BUTTERWORTH)
-16.4207	1.052336E	0.59204962E-02	0.97404574E-01	2.4666865	0.7514035E
-18.1324	1.1244911	0.73653853E-02	0.10317010	2.7192234	0.7491226E
-17.8450	1.1827562	0.91757745E-02	0.10103407	2.8661049	0.7488678E
-17.5572	1.2330154	0.11134165E-01	0.91504562E-01	2.4769153	0.74410187E
-17.22694	1.2632366	0.13860786E-01	0.71092551E-01	3.01110324	0.73368096E
-16.99816	1.2632366	0.17092731E-01	0.60796063E-01	3.0062577	0.72732496E
-16.40059	1.2597171E-01	0.21437814E-01	0.44973739E-01	2.9746331	0.71737223E
-16.1181	1.2222466E-01	0.27047209E-01	0.30655055E-01	2.9726144	0.71016349E
-15.8453	1.1720689E-01	0.35405927E-01	0.19130827E-01	2.8524361	0.68557170E
-15.2566	1.1662755E-01	0.55930592E-01	0.98422826E-02	2.7637516	0.66016358E
-15.9668	1.1034259E-01	0.70594567E-01	0.27821758E-02	2.6548572	0.6410664E
-14.6796	0.97371438E-01	0.38011477E-01	0.23263270E-02	2.5237058	0.61238270E
-14.1933	0.8291444E-01	0.10015552E-01	0.57832106E-02	2.3890208	0.57591277E
-13.8255	0.85438540E-01	0.15536304E-01	0.78826739E-02	2.4910488	0.5538384E
-13.5177	0.75559699E-01	0.18097703E-01	0.88946466E-02	1.9322077	0.49555067E
-14.0185	0.57500666E-01	0.20627033E-01	0.90689355E-02	1.7775172	0.43538967E
-13.2196	0.47376039E-01	0.23951215E-01	0.78635658E-02	1.5545665	0.38219727E
-12.95216	0.46711745E-01	0.25732693E-01	0.78034661E-02	1.3318731	0.32094751E
-12.6642	0.39516161E-01	0.25732693E-01	0.67510275E-02	1.1183974	0.27794375E
-12.17661	0.24338477E-01	0.22405766E-01	0.45187175E-02	0.92144332	0.23679513E
-12.6806	0.17673362E-01	0.30511176E-01	0.35060213E-02	0.74628934	0.18669043E
-11.3008	0.21339346E-01	0.31698553E-01	0.26164048E-02	0.5540358	0.1587711E
-11.5129	0.18111278E-01	0.32676224E-01	0.18660588E-02	0.35599175	0.12553372E
-10.2251	0.74377101E-01	0.33366771E-01	0.12346016E-02	0.2124455	0.97705531E
-10.9373	0.45071319E-01	0.33366771E-01	0.72620586E-03	0.21678645	0.67182000E
-10.6495	0.97616101E-01	0.33397130E-01	0.32487850E-03	0.16551149	0.48713158E
-10.3616	0.89783204E-01	0.344646615E-01	0.72882208E-03	0.12585119	0.39121100E
-10.0738	0.17052528E-01	0.349786256E-01	0.23887479E-03	0.95392239E-01	0.33122500E
-9.7860	0.21371805E-02	0.35052258E-01	0.32670819E-03	0.72149630E-01	0.27100000E
-9.4982	0.50533351E-01	0.35428359E-01	0.36591194E-03	0.44643580E-01	0.23303152E
-9.2104	0.52049301E-01	0.355428549E-01	0.06547251E-03	0.11103671E-01	0.20162524E
-8.9225	0.36671693E-03	0.35540499E-01	0.73390554E-03	0.10992999E-01	0.17724370E
-8.6347	0.10057136E-01	0.35600518E-01	0.77891064E-03	0.23367096E-01	0.15551910E
-8.3469	0.29937233E-01	0.35718191E-01	0.40765338E-03	0.17627537E-01	0.13294300E
-8.0591	0.34141696E-01	0.357779067E-01	0.22952066E-03	0.13122858E-01	0.11306915E
			0.33405065E-03	0.10070889E-01	0.12725910E

CORR. TABLA 111.4

-7.7712	0.49015807E-02	0.35804823	0.83672715E-03	0.76374507E-02	0.121466490E-01
-7.4834	0.12031456E-01	0.35815450	0.83560189E-03	0.58131688E-02	0.11713052E-01
-7.1956	0.179066156E-01	0.35826266	0.83502027E-03	0.4556681E-02	0.11348627E-01
-6.9078	0.24427389E-01	0.358488590	0.83271061E-03	0.34195358E-02	0.11148374E-01
-6.6199	0.54557186E-02	0.35839163	0.83222106E-03	0.26465593E-02	0.10960626E-01
-6.3321	0.10935569E-01	0.358212220	0.83192170E-03	0.20569198E-02	0.10816748E-01
-6.0443	0.14350275E-01	0.35820468	0.83197199E-03	0.16076606E-02	0.10766560E-01
-5.7565	0.18200616E-01	0.35770445	0.83243663E-03	0.12537475E-02	0.10693490E-01
-5.4687	0.50537661E-02	0.35897373	0.83222496E-03	0.96981627E-03	0.10654970E-01
-5.1808	0.90122675E-02	0.35541266	0.84163923E-03	0.73779000E-03	0.10448324E-01
-4.8930	0.10941555E-01	0.35273238	0.84993309E-03	0.54152834E-03	0.10383320E-01
-4.6052	0.13471408E-01	0.34809452	0.85484060E-03	0.38797454E-03	0.10342365E-01
-4.3174	0.46373482E-02	0.33965693	0.85411153E-03	0.30554198E-03	0.10321477E-01
-4.0295	0.064412878E-02	0.32501633	0.84423249E-03	0.24903223E-04	0.10306892E-01
-3.7417	0.86683547E-02	0.24952584	0.81949061E-03	0.10837146E-03	0.10455936E-01
-3.4539	0.59378194E-02	0.25562974	0.77285427E-03	0.27109982E-03	0.10759010E-01
-3.1661	0.22669573E-02	0.18162675	0.69556348E-03	0.44246049E-03	0.11325159E-01
-2.8782	0.31159646E-02	0.02484131E-01	0.57650157E-03	0.14493449E-03	0.12517658E-01
-2.5904	0.68983080E-02	0.11289133	0.39524803E-03	0.78929638E-03	0.14061134E-01
-2.3026	0.34903956E-02	0.33014687	0.13850711E-03	0.07622000E-03	0.19441233E-01
-2.0148	0.20634491E-02	0.5198858	0.25891249E-03	0.11783953E-02	0.29448575E-01
-1.7270	0.10236727E-02	0.58372612	0.58450072E-03	0.13551514E-02	0.44017294E-01
-1.4391	0.024500618E-02	0.49075343	0.89944001E-03	0.14303534E-02	0.75417338E-01
-1.1513	0.17162480E-02	0.31969000	0.10033968E-02	0.13603185E-02	0.1061563E-01
-0.8635	0.18725054E-03	0.17134755	0.10564668E-02	0.11685703E-02	0.1353097E-01
-0.5757	0.11719259E-02	0.8659446E-01	0.92302159E-03	0.76025491E-03	0.18023962E-01
-0.2878	0.13917686E-02	0.50057640E-01	0.73090034E-03	0.70025715E-03	0.23180082E-01
0.0000	0.51592976E-03	0.33233087E-01	0.55994033E-03	0.52880800E-03	0.291724E-01
0.2878	0.11491903E-03	0.21062534E-01	0.41959355E-03	0.39372303E-03	0.2256525E-01
0.5757	0.948484831E-03	0.11796881E-01	0.31462585E-03	0.29726357E-03	0.2180403E-01
0.8635	0.2682487E-04	0.6854400E-02	0.23675222E-03	0.22787676E-03	0.2172604E-01
1.1513	0.16510675E-03	0.53189293E-02	0.16187069E-03	0.18226664E-03	0.33982095E-01
1.4391	0.523276650E-04	0.48411165E-02	0.14615790E-03	0.15287468E-03	0.39327083E-01
1.7270	0.15939650E-03	0.40069541E-02	0.12233016E-03	0.13094713E-03	0.38261531E-01
2.0148	0.18193206E-03	0.30143312E-02	0.10276784E-03	0.10778620E-03	0.4208210E-01
2.3026	0.798568E-04	0.22524066E-02	0.83887944E-04	0.85747921E-04	0.45692230E-01
2.5904	0.2682487E-04	0.17059288E-02	0.66035242E-04	0.55699163E-04	0.48304772E-01
2.8782	0.60715641E-04	0.14571034E-02	0.50616935E-04	0.39332178E-04	0.526660515E-01
3.1661	0.85338651E-04	0.12908706E-02	0.38030760E-04	0.35957655E-04	0.56927433E-01
3.4539	0.23223345E-04	0.11854533E-02	0.27998018E-04	0.25478630E-04	0.60802115E-01
3.7417	0.40982101E-05	0.12846421E-02	0.20300998E-04	0.17604653E-04	0.6477235E-01
4.0295	0.18664992E-04	0.15262194E-02	0.14699935E-04	0.12031391E-04	0.6875368E-01
4.3174	0.22247638E-04	0.21514823E-02	0.10731238E-04	0.80335282E-05	0.72704238E-01
4.6052	0.09546566E-05	0.31378295E-02	0.76697149E-05	0.52269125E-05	0.76691889E-01
4.8930	0.42157673E-06	0.44253111E-02	0.60972876E-05	0.33224202E-05	0.80783423E-01

CONT. TABLA 111.4

5.1808	0.73506294E-05	0.62662762E-02	0.48837061E-05	0.20657976E-05	0.70163275
5.48686	0.97104446E-05	0.07775746E-02	0.40986301E-05	0.11024477E-05	0.71235931
5.75644	0.12956233E-05	0.11875532E-01	0.35655372E-05	0.43068029E-06	0.72116510
6.04331	0.40915330E-05	0.14690634E-01	0.29635347E-05	0.19022537E-06	0.72845583
6.33211	0.04053602E-05	0.17277333E-01	0.25222413E-05	0.71063144E-06	0.73485365
6.61399	0.00333524E-05	0.18881091E-01	0.21315206E-05	0.11007333E-05	0.73969517
6.90777	0.26513225E-05	0.18995535E-01	0.18109052E-05	0.14107052E-05	0.74357000
7.19556	0.14905558E-05	0.17691121E-01	0.15805850E-05	0.16580187E-05	0.74685001
7.48334	0.26507452E-05	0.15410144E-01	0.13703852E-05	0.18105090E-05	0.74995266
7.77112	0.31306600E-05	0.12585013E-01	0.12302594E-05	0.19204649E-05	0.75314916
8.05990	0.22003479E-05	0.99120277E-02	0.11301787E-05	0.19903147E-05	0.75628657
8.34869	0.17502075E-05	0.73564522E-02	0.10701269E-05	0.20702325E-05	0.75948171
8.63747	0.22502001E-05	0.51912715E-02	0.99006601E-06	0.20501367E-05	0.76268577
8.92625	0.25001086E-05	0.34676512E-02	0.97004850E-06	0.20601030E-05	0.76591257
9.21503	0.21401070E-05	0.21001350E-02	0.95003552E-06	0.20700775E-05	0.76914630
9.50381	0.19500731E-05	0.94964551E-03	0.93001961E-06	0.20800585E-05	0.77239700
9.79259	0.15500695E-05	0.11161319E-03	0.94002643E-06	0.20900411E-05	0.77564191
10.08138	0.22000477E-05	0.49151303E-03	0.93001961E-06	0.21100334E-05	0.77889494
10.37016	0.21100334E-05	0.10164461E-02	0.92001455E-06	0.21160334E-05	0.78214754
10.65894	0.22500240E-05	0.14142766E-02	0.91001079E-06	0.21220251E-05	0.78540265
10.94773	0.21100161E-05	0.17108952E-02	0.91000809E-06	0.21200188E-05	0.78865611
11.23651	0.19300144E-05	0.19332529E-02	0.90000699E-06	0.21300142E-05	0.79191132
11.52529	0.21600105E-05	0.21600005E-02	0.90000495E-06	0.21300106E-05	0.79516360
11.81407	0.22000077E-05	0.22504838E-02	0.89000344E-06	0.21300060E-05	0.79841315
12.10285	0.20900059E-05	0.23188465E-02	0.89000250E-06	0.21400050E-05	0.80166779
12.39163	0.21200044E-05	0.23891550E-02	0.89000188E-06	0.21400035E-05	0.80492293
12.68042	0.20500033E-05	0.24419830E-02	0.89000149E-06	0.21400034E-05	0.80817802
12.96920	0.20700025E-05	0.24314329E-02	0.89000104E-06	0.21500025E-05	0.81143304
13.25798	0.22000018E-05	0.24511088E-02	0.89000079E-06	0.21400019E-05	0.81468779
13.54677	0.20800011E-05	0.25333217E-02	0.89000059E-06	0.21300011E-05	0.81794252
13.83555	0.20700001E-05	0.25500013E-02	0.89000044E-06	0.21300011E-05	0.82119725
14.12433	0.22000000E-05	0.25025010E-02	0.89000033E-06	0.21300008E-05	0.82445198
14.41311	0.20500000E-05	0.25718807E-02	0.89000025E-06	0.21100006E-05	0.82770671
14.70189	0.20300004E-05	0.25789205E-02	0.87000018E-06	0.21000006E-05	0.83096144
14.99068	0.21000003E-05	0.25814904E-02	0.87000014E-06	0.20700003E-05	0.83421617
15.27946	0.19800000E-05	0.25811493E-02	0.86000010E-06	0.20600002E-05	0.83747090
15.56824	0.22000002E-05	0.25911132E-02	0.85000006E-06	0.20100000E-05	0.84072563
15.85702	0.19000000E-05	0.25933302E-02	0.84000000E-06	0.19500001E-05	0.84398036
16.14581	0.18500001E-05	0.25949901E-02	0.83000004E-06	0.18900001E-05	0.84723509
16.43459	0.17500001E-05	0.25962501E-02	0.80000003E-06	0.18000001E-05	0.85048982
16.72337	0.16300000E-05	0.25972091E-02	0.70000002E-06	0.17000000E-05	0.85374455
17.01215	0.15100000E-05	0.25974901E-02	0.73000002E-06	1.15400000E-05	0.85700000
17.30093	0.13200000E-05	0.25984350E-02	0.67000001E-06	0.11700000E-05	0.86025473
17.58972	0.11200000E-05	0.25988200E-02	0.62000001E-06	7.11400000E-05	0.86350946
17.87850	0.87000000E-06	0.25991300E-02	0.53000001E-06	0.99000000E-06	0.86676419
18.16728	0.60000000E-06	0.25994300E-02	0.58000000E-06	8.50000000E-06	0.87001892

CAPITULO III

idea central del método de Mansinha, de utilizar el filtro de Butterworth para eliminar el desplazamiento propuesto por Koefoed, y que los procedimientos que se siguen en ambos métodos, son completamente diferentes.

De acuerdo a Mansinha (1984), sus filtros están diseñados para trabajar en forma eficiente dentro del rango de $-7 \leq x \leq 7$. Aunque, como se observa en la tercera columna de la tabla III.4, los resultados continúan siendo alentadores para el total de abscisas manejado; con un error pico del 0.3%. Sin embargo, cuando se comparan estos resultados con respecto a los obtenidos mediante la aplicación del FFB(x) (segunda columna de la misma tabla), se observa que estos últimos, superan ampliamente a los encontrados con los del filtro de Mansinha; excepto para los valores comprendidos entre las abscisas $-18.4 \leq x \leq -12.6$. De tal forma, que con el FFB(x) se obtienen errores sumamente bajos, en relación a las encontradas con el filtro de Mansinha. Por lo que el FFB(x) que se propone en este trabajo de tesis, es sin lugar a dudas, más eficiente en cuanto a la obtención de resultados que el filtro de Mansinha; por lo menos, dentro del rango de abscisas para las cuales, según Mansinha, sus filtros operan en forma óptima. Por otra parte, el FFB(x) presenta dos ventajas adicionales, desde el punto de vista del método de diseño del filtro. La primera, está relacionada con el procedimiento de cálculo de la FFB(x). Ya que para esta, únicamente se necesita efectuar un simple producto en el dominio-k. Mientras que la técnica que utiliza Mansinha, es muy laboriosa, puesto que él requiere de establecer un

CAPITULO III

conjunto de 25000 muestras y después otro de 500 muestras, a partir del cual se calculan los coeficientes de la $F(x)$ (ver sección I.6). La segunda ventaja que presenta el método, es que Mansinha utiliza, para la compensación por truncamiento, un sistema de regla trapezoidal, el cual es más difícil de aplicar que la técnica tradicionalmente empleada en el Método de Transformada de Fourier, (ver sección II.1.1). Otra ventaja que tiene el método, está relacionada al hecho de su fácil implementación al Método de Transformada de Fourier. Por último, hay que dejar claro, que para efectuar una mejor comparación entre ambos métodos es necesario igualar el número de coeficientes utilizados. Ya que para el método de la sección II.1.1 se utilizan 128 coeficientes, y en cambio en el otro, únicamente 22. Dicha diferencia, como se sabe, afecta directamente sobre la eficiencia de los filtros. Así entonces, haciendo una evaluación general de los diferentes aspectos presentados anteriormente, se concluye, que el método filtro de Butterworth presentado en la sección II.1.1, es más competente que el método de Mansinha. Además, es de esperarse, que dicho comportamiento se mantenga para contrastes de resistividades menores al utilizado, de $1:10^6$.

Una situación que también vale la pena aclarar, es que, de acuerdo a Mansinha, sus filtros deben de por lo menos cumplir su cometido básico, es decir, ofrecer mejores resultados que cuando no se utiliza la técnica de desplazamiento sugerida por Koefoed. Pero, como se observa en la quinta columna de la tabla III.4, este objetivo ni siquiera es completado;

inclusive para el rango de abscisas para las cuales fueron diseñados. Aunque contradictoriamente, presentan resultados eficientes para fuera de dicho rango. En resumen, dichas observaciones, tal vez no puedan ser concluyentes para establecer si la técnica de diseño de filtros directos de Mansinha sea errónea, sin embargo, en su artículo tampoco plantea bajo qué consideraciones deben de ser utilizados, o calculados, sus filtros. De una forma completamente diferente, para el caso del FFB(x) presentado en la sección II.1.1, se observa que éste, si cumple por lo menos el objetivo básico de dar mejores resultados que cuando no se utiliza la técnica de desplazamiento sugerido por Koefoed (como se puede ver en la segunda columna de la tabla III.4).

Ahora bien, para seguir analizando el método de la sección II.1.1, se comparará a continuación, con los resultados obtenidos en la cuarta columna de la tabla III.4 (F(x) de Seara). Observándose, en dicha columna, que la técnica de desplazamiento sugerida por Koefoed, es todavía mejor, que la propuesta en la sección II.1.1 (segunda columna de la misma tabla). Sin embargo, también se puede notar que la discrepancia de efectividad, entre ambos métodos, no es muy grande. De esta manera, el método de la sección II.1.1, presenta una ventaja importante con respecto al método de desplazamiento de Koefoed. La cual consiste en que, para calcular a la FFB(x) se necesita de menos tiempo y espacio de memoria de computadora (como se puede apreciar al comparar las figuras I.2.1 y II.1.1.1). Por lo que puede ser aplicada convenientemente en computadoras más pequeñas. Por otro lado,

se piensa que el método, puede presentar mejoras sustanciales con respecto a la técnica de Koefoed, si se realiza un análisis detallado, de la relación que existe entre el orden del filtro de Butterworth y su número de onda de corte (ver sección I.6), o en su defecto, utilizar otro tipo de filtro que contenga mejores características que este. Desde luego, éstas posibilidades quedan abiertas para ser analizadas en estudios posteriores.

Como se mencionó en la sección II.1.2, la idea de este método, era la de reducir la distorsión del espectro del número de onda (provocado por la función ventana rectangular) de la $F(x)$, calculada con desplazamiento cero para las funciones de entrada y salida, mediante el manejo de una función ventana. Con el propósito de obtener una $F(x)$ que eliminara la necesidad del desplazamiento sugerido por Koefoed. No obstante, como se puede ver en los resultados arrojados por este método (sexta columna de la tabla III.4), dicha idea parece no ser muy adecuada al cotejarlos con la quinta columna de esta misma tabla. Empero, quizás el planteamiento de esta técnica no sea errónea, sino que más bien dependa, del tipo de función ventana utilizada. Ya que esta, no fue escogida, a partir de algún tipo de consideración teórica rigurosa. Por lo que, sería conveniente tomar en cuenta el criterio de elección de (Bath, 1974), según el cual, para diseñar una función ventana es necesario practicar un procedimiento de ensayo y error, o, de manera alternativa, mediante un efecto combinado de varias funciones

CAPITULO III

ventana. De ésta forma, es posible que esta técnica pueda brindar resultados satisfactorios, pero sin duda, es necesario realizar estudios más profundos, para comprobar la veracidad de éste método.

Por último, se presentan en las tablas III.5, III.6 y III.7, los coeficientes de las $F(x)$ utilizados para la elaboración de las tablas precedentes. Con el propósito de que el lector interesado pueda hacer uso de ellos, para los fines que juzgue pertinentes.

T A B L A III. 5

LISTA DE LOS COEFICIENTES DE LAS F(X), UTILIZADOS PARA EL CALCULO DE LAS FUNCIONES TRANSFORMADAS DE RESISTIVIDADES DE LA TABLA III.3 (SEGUNDA, QUINTA Y SEXTA COLUMNAS RESPECTIVAMENTE)

ARCISIAS LN	F(X) COEFICIENTES (CON FILTRO BUTTERWORTH)	F(X) COEFICIENTES SEAL (SIN DES.)	F(X) COEFICIENTES (VENTANA HANNING)
-18.4207	0.54640223137722413E-07	-0.02550844570780731E-07	-0.94273885854755960E-15
-18.1329	-0.48759948354440000E-07	-0.51833381948220000E-07	-0.3029727904470070E-10
-17.8450	-0.363600775947110000E-07	-0.41111857029820000E-07	-0.48541885430055000E-10
-17.5572	0.21269586998050000E-07	-0.5928000831580000E-07	-0.19380452596238136E-09
-17.2694	0.11542789479790000E-06	-0.2930003208930000E-07	-0.78082211336196655E-09
-16.9816	-0.841217016004540000E-07	-0.25415685556140000E-07	-0.38010110466329394E-09
-16.6937	-0.12454967344190000E-06	-0.2087013939445000E-07	-0.44865919493512249E-09
-16.4059	0.70620764347500000E-07	-0.1799086627400000E-07	-0.52515946394465009E-09
-16.1181	0.29258008130030000E-06	-0.14850591867349000E-07	-0.56358711508302480E-09
-15.8303	-0.19505006139975000E-06	0.1273837495930000E-07	-0.61930972941806488E-09
-15.5425	-0.35560592342613000E-06	-0.10555545770790000E-07	-0.62284121473000240E-09
-15.2546	0.58749548828430000E-06	-0.9013891685147000E-08	-0.6407353081080707E-09
-14.9668	-0.31078675998280000E-06	-0.74843091721119999E-08	-0.6302413073028634E-09
-14.6790	0.17368524652542000E-06	-0.6356534409940000E-08	-0.62507159660704870E-09
-14.3912	-0.84405224652542000E-06	-0.5266644453083000E-08	-0.59734374231059588E-09
-14.1033	0.38934689428000000E-06	-0.44236907825240000E-08	-0.57213972527089168E-09
-13.8155	-0.15791337870972000E-05	-0.36081139182369000E-08	-0.528259202307810828E-09
-13.5277	-0.62555482295269999E-06	-0.29252253952450000E-08	-0.48017873538958758E-09
-13.2399	-0.20080118881844000E-05	-0.2228467188559000E-08	-0.40720970017782524E-09
-12.9520	0.8320935194206000E-06	-0.1543784700089000E-08	-0.31197083020784534E-09
-12.6642	-0.33122712466140000E-05	-0.7422638614862000E-08	-0.189689488222584E-09
-12.3764	-0.12609045825230000E-05	-0.2359713578800000E-08	-0.5713269493548970E-10
-12.0886	0.5088721070938000E-05	-0.1579038596668000E-08	-0.1172233714191504E-10
-11.8008	0.17215839910630000E-05	-0.3502227396979000E-08	-0.1002146132722355E-10
-11.5129	0.80158332463569999E-05	-0.0397024265175000E-08	-0.1474228006038929E-10
-11.2251	-0.2519128884140000E-05	-0.1093845260142000E-07	-0.3892760786268720E-10
-10.9373	-0.12428225000340000E-04	-0.1776900146947000E-07	-0.6300408091010520E-10
-10.6495	0.34229597059509000E-05	-0.2891522949720000E-07	-0.1082901744238950E-09
-10.3616	-0.1952252023329000E-05	-0.4571891665250000E-07	-0.1539674607441670E-09
-10.0738	-0.4937849098496000E-05	-0.771078363370000E-07	-0.3101945366989595E-09
-9.7860	-0.30458984838330000E-04	-0.1153961974830000E-06	-0.5283086123834883E-09
-9.4982	0.67558877620890000E-05	-0.1828919948821000E-06	-0.86806192413135585E-09
-9.2104	-0.4788019941770000E-04	-0.249572553849000E-06	-0.144413016143510E-09
-8.9225	0.9418936622695999E-05	-0.4588512432070000E-06	-0.2405071905445590E-09
-8.6347	-0.75142181764448999E-04	-0.7760562142019000E-06	-0.3985879826017512E-09
-8.3469	0.1272930870439000E-04	-0.1199251201268000E-05	-0.6588728579999494E-09
-8.0591	0.11850741429950000E-03	-0.18190191844970000E-05	-0.10866390110060709E-08

CONT. TABLA III.1

-7.7712	-0.17375721654390000E-04	-0.28790418582500000E-05	-0.17891530810212197E-05
-7.4834	-0.48717013881540000E-03	-0.455723435445000E-05	-0.2938515361676469E-05
-7.1956	-0.23275140847550000E-04	-0.7212022805130000E-05	-0.4870492634019489E-05
-6.9078	-0.29721675673500000E-J3	-0.1141466509130000E-04	-0.78908875209636945E-05
-6.6199	-0.31720694096290000E-04	-0.18066519260170000E-04	-0.12894779384150280E-04
-6.3321	-0.47386440564880000E-03	-0.28595564799620000E-04	-0.2193663497949335E-04
-6.0443	-0.44038097257730000E-04	-0.45263386799850000E-04	-0.34726505352215352E-04
-5.7505	-0.76103711035100000E-03	-0.711549096245770001E-04	-0.5572494909699980E-04
-5.4607	-0.66212327510580000E-04	-0.11345421808070000E-03	-0.90915522634158452E-04
-5.1800	-0.12327919248490000E-02	-0.17970519547820000E-03	-0.14834974352113357E-03
-4.8930	-0.11296192678860000E-03	-0.28383974165280000E-03	-0.23495560107506512E-03
-4.6052	-0.20242934115230000E-02	-0.45206403592600000E-03	-0.33584988605182779E-03
-4.3174	-0.42974675812290000E-03	-0.71918027242650000E-03	-0.62401237647460373E-03
-4.0295	-0.55934342209250000E-02	-0.11491655069737000E-02	-0.10187229333410343E-02
-3.7417	-0.54539879783990001E-03	-0.18507231725380000E-02	-0.16835907746978001E-02
-3.4539	-0.58978577144440000E-02	-0.30198523309080000E-02	-0.27653409637143006E-02
-3.1661	-0.14277978334580000E-02	-0.50111641170040000E-02	-0.44546255613723510E-02
-2.8782	-0.110068822414220000E-01	-0.82518251103100000E-02	-0.77926034018434238E-02
-2.5904	-0.36795249930140000E-02	-0.11361090427500000E-01	-0.11381126638490097E-01
-2.3026	-0.2387734688180000E-01	-0.28418830001250000E-02	-0.27437463945181200E-01
-2.0148	-0.44161682017150000E-02	-0.50610851496440000E-01	-0.49931308353614643E-01
-1.7270	-0.59084240347150000E-01	-0.1057629366540000E-01	-0.10348147213266877E-01
-1.4391	-0.42425600114870000E-01	-0.33191215246920000E-01	-0.320237586000000E-01
-1.1513	-0.61981000006200000E-01	-0.72620533406730000E-01	-0.7152772098605400E-01
-0.8635	-0.15670694749360000E-01	-0.1572742676730000E-01	-0.15637338527129050E-01
-0.5757	-0.1754703722420000E-01	-0.1624610205269000E-01	-0.16246094821134852E-01
-0.2878	-0.14804872270450000E-01	-0.1563549497325000E-01	-0.1562653228955311E-01
0.0000	-0.12242314219470000E-01	-0.12334050068860000E-01	-0.12324750006860916E-01
0.2756	-0.10333741456270000E-01	-0.10333635588107000E-01	-0.10332132078221230E-01
0.5635	-0.83114327371120000E-01	-0.75349028932939999E-01	-0.75157671614223250E-01
0.8513	-0.57540446519850000E-01	-0.61357442652800000E-01	-0.61356552941783587E-01
1.1391	-0.43574675917630000E-01	-0.43224241584530000E-01	-0.43206899862474000E-01
1.4269	-0.35025329047170000E-01	-0.353349770802070000E-01	-0.348052511047516E-01
1.7147	-0.26317087933420000E-01	-0.24270292567080000E-01	-0.23748316624622212E-01
2.0026	-0.18436569720510000E-01	-0.20175812765960000E-01	-0.19566060803157133E-01
2.2904	-0.13866518353220000E-01	-0.13507429510350000E-01	-0.13496001012906471E-01
2.5782	-0.11278459304370000E-01	-0.11513709434960000E-01	-0.11493852968150000E-01
2.8660	-0.84114693693160000E-02	-0.74749412615050000E-02	-0.70634595296835311E-02
3.1538	-0.57902010800759999E-02	-0.65851942636070000E-02	-0.61186944438541111E-02
3.4417	-0.43435963023010000E-02	-0.41139982640710000E-02	-0.37672729215137260E-02
3.7295	-0.33852608535300000E-02	-0.37806673418000000E-02	-0.33056679242644343E-02
4.0173	-0.26904374943880000E-02	-0.22492997813970000E-02	-0.19459795013315100E-02
4.3052	-0.181094335218640000E-02	-0.21006331305130000E-02	-0.18905241092460927E-02
4.5930	-0.13544081011790000E-02	-0.12192011345150000E-02	-0.10406238921005034E-02
4.8808	-0.11466485448180000E-02	-0.12644544475640000E-02	-0.12567711516060542E-02
5.1686	-0.86427509086210000E-03	-0.653162366577930000E-03	-0.53374430682630570E-03

CONT. TABLA III.5

5.4686	0.564547113921990000E-03	0.73840067489070000E-03	0.58911248482716499E-03
5.7564	0.41939350194300000E-03	0.3442643223510000E-03	0.26775310612614476E-03
6.0043	0.36768015706510000E-03	0.4346448863250000E-03	0.3296256169048360E-03
6.3321	0.277929717907680000E-03	0.17723850032780000E-03	0.13036741025415134E-03
6.6019	0.17527569434610000E-03	0.25819923030210000E-03	0.18428680934976000E-03
6.9077	0.12870295904580000E-03	0.08057713583109999E-04	0.60874501789313384E-04
7.1956	0.11826205445900000E-03	0.15497903223150000E-04	0.10356744125621519E-04
7.4834	0.90970432711179999E-04	0.41275732655780000E-04	0.26626791538972594E-04
7.7712	0.54131214710650000E-04	0.94896198154150000E-04	0.54475184451605400E-04
8.0590	0.38991518522380000E-04	0.1735356406730000E-04	0.10372128110048639E-04
8.3469	0.38165526348170000E-04	0.57844623370330000E-04	0.33102880437589800E-04
8.6347	0.29940119929960000E-04	0.56676555665640000E-05	0.40763178184719849E-05
8.9225	0.1659344747370000E-04	0.26021635004540000E-07	0.14896090394771779E-07
9.2103	0.11593432213370000E-04	0.20475218649600000E-06	0.1221139011554360E-06
9.4981	0.12354499890000000E-04	0.22745200139350000E-04	0.1013245343630230E-04
9.7860	0.999112398885839999E-05	-0.18780676315410000E-05	-0.1922999314222040E-05
10.0738	0.50368116717439999E-05	-0.445854653716910000E-04	-0.6258849912123189E-04
10.3616	0.33555554637130000E-05	-0.2594984442970000E-05	-0.1043668930948699E-05
10.6494	0.40051513878920000E-05	0.9437108690030000E-05	0.3571350642430499E-05
10.9373	0.33971125503740000E-05	-0.25167569219740000E-05	-0.6429056360046438E-06
11.2251	0.15014572909420000E-05	0.61958817241250000E-05	0.2053622817315064E-05
11.5129	0.9354861990030000E-06	-0.2104366964430000E-05	-0.4778954314665122E-05
11.8007	0.1293516334404000E-06	0.4153580244110000E-05	0.1177622340008638E-05
12.0886	0.11865682153423000E-05	-0.17489047650090000E-05	-0.46210685274000370E-06
12.3764	0.43032355279440000E-06	0.27623066210620000E-05	0.6708065533035135E-06
12.6642	0.25063083797160000E-06	-0.13610109590450000E-05	-0.3623403965700560E-06
12.9520	0.4088277023584000E-06	0.18714525232570000E-05	0.3748067659726299E-06
13.2398	0.4317819275457000E-06	-0.10333678601540000E-05	-0.1884800093001390E-06
13.5277	0.11130079258240000E-06	-0.12782101420500000E-05	-0.2998204631058623E-06
13.8155	0.69294413132184000E-07	-0.77137457310530000E-05	-0.11291402835092200E-06
14.1033	0.11852558436980000E-06	0.87910814272620000E-05	0.1138106112345553E-06
14.3911	0.16733000578794000E-06	0.44885144530250000E-05	0.0452781358498038E-07
14.6790	0.18290462477920000E-07	0.6081091028330000E-05	0.5060447853217100E-07
14.9668	0.27480467355949000E-07	-0.41578144405260000E-06	-0.3501226082361000E-07
15.2546	0.22075246519650000E-07	0.42279469880670000E-06	0.3905355465721945E-07
15.5424	0.72044670673890000E-07	-0.3018718369570000E-06	-0.176066790710964E-07
15.8302	-0.5328350864270000E-08	0.24511357979570000E-06	0.1454421657771227E-07
16.1181	-0.73428395223859000E-07	-0.1905212569220000E-06	-0.629138846065300E-08
16.4059	0.12819290518000000E-07	0.20667452815100000E-06	0.603294968283097E-07
16.6937	0.31849829440490000E-07	-0.15695150068500000E-06	-0.337409025451587E-07
16.9815	-0.8275544782859000E-08	0.14512947043650000E-06	0.2170700517408674E-08
17.2694	-0.33007090400930000E-07	-0.11261709433060000E-06	-0.1079331467672260E-08
17.5572	-0.49986181109720000E-07	0.10213451617940000E-06	0.1569381426126435E-08
17.8450	0.45710466552302000E-08	-0.8062057332840000E-07	-0.424627246493815E-08
18.1328	-0.33011450933392857E-08	0.67258403735329269E-07	0.42944927137738492E-08

CAPITULO III

T A B L A III.6

LISTA DE LOS COEFICIENTES DE LA F(X) DE SEARA, UTILIZADOS PARA EL CALCULO DE LA FUNCION TRANSFORMADA DE RESISTIVIDADES DE LA TABLA III.3 (CUARTA COLUMNA).

ABSCISAS LN	F(X) COEFICIENTES SEARA (CON DES.)
-18.2200	-0.350444860763333151E-08
-17.9330	0.13513679964690000E-08
-17.6352	0.521511445133960000E-10
-17.3374	0.127392147475225000E-08
-17.0395	-0.66775535101370000E-09
-16.7417	0.16376101585590000E-08
-16.4439	-0.15634142826920000E-08
-16.1461	0.24715973712120000E-08
-15.8482	-0.29034472603940000E-08
-15.5504	0.403233355781520000E-08
-15.2526	-0.5082121272226550000E-08
-14.9548	0.67702980999230000E-08
-14.6570	-0.873566610833920000E-08
-14.3591	0.11479912132020000E-07
-14.0613	-0.149228158265090000E-07
-13.7635	0.195229899947540000E-07
-13.4657	-0.254261494246310000E-07
-13.1679	0.332689810470290000E-07
-12.8700	-0.433398960566870000E-07
-12.5722	0.5686690384125000E-07
-12.2744	-0.73959783298824000E-07
-11.9765	0.96552241757310000E-07
-11.6787	-0.126030222980780000E-06
-11.3809	0.164519789797150000E-06
-11.0831	-0.21475517542060000E-06
-10.7853	0.2803363372550000E-06
-10.4874	-0.365933995651480000E-06
-10.1896	0.47768594413359999E-06
-9.8918	-0.62355348973140001E-06
-9.5940	0.81396564155510000E-06
-9.2962	-0.1062522155054460000E-05
-8.9984	0.13366978283335000E-05
-8.7006	-0.18105112076230000E-05
-8.4028	0.23633374773325000E-05
-8.1050	-0.3085505576642238000E-05
-7.8072	0.402710422956256000E-05
-7.5094	-0.5235678615530410000E-05
-7.2116	0.68618930518129999E-05
-6.9138	-0.89591230201666000E-05
-6.6160	0.119891230201666000E-04
-6.3182	-0.15259400242930000E-04
-6.0204	0.19914234144380000E-04
-5.7226	-0.259834469033410000E-04
-5.4248	0.33888678444780000E-04
-5.1270	-0.44165331010065000E-04
-4.8292	0.57474841014480000E-04
-4.5314	-0.745866670962160000E-04
-4.2336	0.96262570878030000E-04
-3.9358	-0.12284611875660000E-03
-3.6380	0.15291955787690000E-03
-3.3402	-0.17670776355270000E-03
-3.0424	0.16846883227120000E-03
-2.7446	0.11197967952010000E-04
-2.4468	-0.97420939709990000E-03
-2.1490	0.55416766554126000E-02
-1.8512	-0.23503100199510000E-01
-1.5534	0.65084375441070000E-01
-1.2556	-0.67336477339270000E-01
-0.9578	0.75985200307796000E-01
-0.6600	-0.46224106103166000E-01

CAPITULO III

CONT. PASTA III.B

-0.9514	U.13572637736800000
-0.6630	U.16726581488130000
-0.3758	U.15843702457370000
-0.0889	U.13501356145800000
-0.1989	U.10610945926100000
-0.4755	U.84565254545210000
0.7755	U.84565254545210000
1.0033	U.48993922259330000
1.3511	U.36923922259330000
1.6390	U.27833616361020000
1.9266	U.20885843783620000
2.2140	U.15700908377770000
2.5024	U.11767431162300000
2.7903	U.88374866172670000
3.0761	U.66216532140970000
3.3659	U.49709072233055000
3.6537	U.37245671266483000
3.9415	U.27954467595710000
4.2294	U.20947224914059000
4.5172	U.15719587681820000
4.8050	U.11780330678450000
5.0928	U.88394380873070000
5.3807	U.66249008523300000
5.6685	U.49705913988870000
5.9563	U.37256054929460000
6.2441	U.27950722214212000
6.5320	U.20951322222180000
6.8198	U.15717370843050000
7.1076	U.11782130604483000
7.3954	U.88388963446379990
7.6832	U.66225740934396000
7.9711	U.497000272938940000
8.2589	U.37260658888930000
8.5467	U.27947197546812000
8.8345	U.20953324816764000
9.1224	U.15716039342810000
9.4102	U.11783595865321000
9.6980	U.88376518760092000
9.9858	U.66226188667863000
10.2737	U.49705715973885900
10.5615	U.37252220757846000
10.8493	U.27946473437620000
11.1371	U.20954289539080000
11.4249	U.15715331811355000
11.7128	U.11783556001590000
12.0006	U.88373299900608500
12.2884	U.66264221509281000
12.5762	U.49705956033637600
12.8641	U.37263222006391400
13.1519	U.27943886332404000
13.4397	U.20954586324815700
13.7275	U.15715302481570000
14.0153	U.11783338749180000
14.3032	U.88377603901790000
14.5910	U.66257172193220000
14.8788	U.49705633387020000
15.1666	U.37249531459346000
15.4545	U.27964189180490000
15.7423	U.20930345150800000
16.0301	U.15747154691330000
16.3179	U.11741581040780000
16.6058	U.88224050345449000
16.8936	U.65542633382890000
17.1814	U.50438857551630000
17.4692	U.36030836092490000
17.7570	U.29555304870140000
18.0449	U.18853165079299000
18.3327	U.24787650120919150

CAPITULO III

T A B L A III.7

LISTA DE LOS COEFICIENTES DE LA FCA) DE TRANSFORMACION (22 COEFICIENTES), UTILIZADOS PARA EL CALCULO DE LA FUERZA TRANSFORMADA DE RESISTIVIDADES DE LA TABLA III.3 (TERCERA COLUMNA).

ASCISAS LN	F(X) COEFICIENTES TRANSFORMA
-1.9188	-0.3936
-1.5351	0.1936
-1.1513	0.5804
-0.7675	0.5906
-0.3838	0.4354
0.0000	0.3073
0.3838	0.2301
0.7675	0.1609
1.1513	0.1048
1.5351	0.0717
1.9188	0.0510
2.3026	0.0354
2.6863	0.0227
3.0701	0.0157
3.4539	0.0110
3.8376	0.0073
4.2214	0.0049
4.6052	0.0034
4.9889	0.0023
5.3727	0.0016
5.7565	0.0011
6.1402	0.0006

CONCLUSIONES Y RECOMENDACIONES

- 1) El método propuesto por Mansinha para el diseño de filtros sin desplazamiento, es una técnica que carece de generalidad y, es muy complicada en su elaboración.
- 2) El uso del filtro de Butterworth, para diseñar filtros sin desplazamiento, es un método eficiente, pues los errores encontrados, en general son bajos; con un error pico del 1.2%. Además, es posible disminuir tales errores, si se utiliza otro tipo de filtro con mejores características que las del filtro empleado.
- 3) El uso de funciones ventana, para diseñar filtros sin desplazamiento, es un método que merece mayor atención con el objeto de producir filtros más eficientes. Por ejemplo, el empleo de otras funciones ventanas distintas a la de Hanning, o el empleo de varias funciones ventanas al mismo tiempo, podría mejorar el método de diseño.
- 4) El uso del filtro de Butterworth y de funciones ventana son técnicas más rápidas y fáciles de implementar que las técnicas tradicionalmente empleadas.
- 5) Es necesario encontrar un método que permita disminuir el número de coeficientes del filtro sin disminuir la eficiencia del mismo.

CONT. APENDICE A

```

CALL STUDB(SAMP, L, 1)
C SE CALCULA LA TRANSFORMADA DE LA FUNCION DE ENTRADA
CALL SLOGN(C, 1, -1.0)
C SE CALCULA EL ESPECTRO DE FRECUENCIA DEL FILTRO DIRECTO O
C INVERSO
IF(TFILT.EQ.-1.00) GO TO 1000
IF(TFILT.EQ.1.00) GO TO 2000
1000 DO 1 I=1, L
      ZI(I)=T(I)/RCI)
      GO TO 3000
2000 DO 2 I=1, L
      ZI(I)=R(I)/T(I)
3000 IF(J.GT.1) GO TO 200
C SE CALCULA EL NUEVO ESPACIAMIENTO DE MUESTRO
SAMP=DOUBLE(PI)
SI=LOG(DBLEC(10.))/SAMP
C SE CALCULA LA FASE CORRESPONDIENTE A LA FRECUENCIA DE NY-
CQUIST PARA EL INTERVALO PI
PHNY=ATAN2(SNGL(DIMAG(ZINY)), SNGL(DREAL(ZINY)))
C SE CALCULA EL DESPLAZAMIENTO
DISP=TFILT*(PI*NY/PI)SI
C SE CALCULA LA FRECUENCIA DE NYQUIST CORRESPONDIENTE AL IN-
C TERVALO PI
NFREQ=XL/2.+1.
FINT=1./(AL*SI)
DO 13 I=1, NFREQ
FR(I)=(I-1)*FINT
CONTINUE
200 CONTINUE
C SE ACORTA EL FILTRO EN EL DOMINIO DE LAS FRECUENCIAS
N=7
L2=L/2
NFREQ=XL/2.+1.
INC=L/L2
DO 12 I=2, L2
FR(I)=FR(INC*(I-1)+1)
ZI(I)=ZI(INC*(I-1)+1)
WRITE(6, 110)
110 *, 'FRECUENCIAS', 1X, 'AMPLITUD RELATIVA', 3X, 'FASE', //)
C SE CALCULA LA TRANSFORMADA INVERSA
CALL SLOGN(N, ZI, 1.0)
DO 3 I=1, L2
FC(I)=SNGL(DREAL(ZI(I)))
C NUMERO TOTAL DE COEFICIENTES DE FILTRO
NPF=L2
C NUMERO DE COEFICIENTES DESPUES DE X=0
NF=L2/2
C NUMERO DE COEFICIENTES ANTES DE X=0
NE=NPF-NF
C SE CALCULA LA ABCISA DE LOS COEFICIENTES
IF(TFILT.EQ.-1.00) SH=-1.
IF(TFILT.EQ.-1.00) SH=1.
S(I)=-((AL/2.)+SI+SH*DISP)
DO 15 I=1, NPF
S(I+1)=S(I)+SI
15 CONTINUE
C REPUSICION DE LOS COEFICIENTES DE FILTRO A SU CORRESPON-
C DIENTE ABCISA
DO 4 I=1, NF
FIC(NF+I)=FC(I)
DO 5 I=1, NE
FIC(I)=FC(NF+I)
SH=0.
C IMPRESION DE DATOS DE SALIDA:
WRITE(6, 113)
113 FORMAT(2(/), 4X, 'ABSCISA LOGARITMICA', 4X

```

CONT. APENDICE A

```

*, 'COEFICIENTES DE', /, 9X, '(DE X)', 13X, 'FILTRO LINEAL'
*, 2(0)
DO 1 I=1,NPF
SUM=SUM+FIC(I)
WRITE(6,114) S(1),FIC(1)
16 CONTINUE
FORNAT(8X,F0.4,JY,F20.13)
114 WRITE(6,115) DJSP,SUM
FORNAT(5X,' VALOR DEL DESPLAZAMIENTO=',F10.7,2(/),5X,
* 'SUA DE LOS COEFICIENTES=',F12.10)
GO TO 41
21 CALL EXIT
END
SUBROUTINE RTF00(SAMPC,L,I)
C SUBROUTINA PARA CALCULAR LA FUNCION DE ENTRADA TRANSFORMADA
C DE RESISTIVIDAD.
DIMENSION T(1024)
COMPLEX*16 T
DOUBLE PRECISION SAMPC,SI,XL,AD,AT,BT,C1,DT
DOUBLE PRECISION RETRA
SI=DLOG(10.00)/SAMPC
XL=L
XD=-(XL/2.00)*SI
DO 1 I=1,L
IF(XD.LT.-.06010R.XD.GT..675803) GO TO 3
AT=DEXP(XD)
BT=DEXP(-XD)
CT=DEXP(BT)
DT=-.3D1*AT
RETRA=DBLE(1.)/DT*CT
T(I)=DCMPLX(RETRA,0.000)
GO TO 2
3 T(I)=DCMPLX(0.000,0.000)
XD=XD+SI
CONTINUE
RETURN
END
SUBROUTINE DISCH(SAMPC,L,DISP,H,R)
C SUBROUTINA PARA CALCULAR LA FUNCION DE SALIDA SCHLUMBERGER.
DIMENSION R(1024)
COMPLEX*16 R
DOUBLE PRECISION SAMPC,SI,XL,AD,B,B1,B2
DOUBLE PRECISION XTT,DISP,AR,BR,CR,DR,RUDSC
SI=DLOG(10.000)/SAMPC
XL=L
XD=-(XL/2.000)*SI
B1=2.00*B+1.000
B2=1.00-3.00*B
DO 1 I=1,L
XTT=XL-DISP
IF(XTT.LT.-.965020R.XTT.GT..105903) GO TO 2
AR=DEXP(3.00*XTT)
BR=DEXP(2.00*XTT)
CR=B1*BR+B2
DR=(B0+BR)*(-3.500)
RUDSC=(AR+CR)*DR
R(I)=DCMPLX(RUDSC,0.000)
GO TO 3
2 R(I)=DCMPLX(0.000,0.000)
XD=XD+SI
CONTINUE
RETURN
END
SUBROUTINE FLOGI(M,X,SGND)
C SUBROUTINA PARA CALCULAR LA TRANSFORMADA DISCRETA DIRECTA O
C INVERSA DE EQUIPES.
DIMENSION M(25)
COMPLEX*16 X(1024),R,HOLD,L

```

CONT. APENDICE A

```

DOUBLE PRECISION TPI,V
TPI=0.00015707963267949*DATA*(DBLE(1.0))
LX=2**M
DO 1 I=1,M
  1  N(I)=2**(M-I)
  DO 4 J=1,N(I)
    NBLCK=2**(L-1)
    LBLOCK=LX/NBLCK
    LBHALF=LBLOCK/2
    K=0
    DO 4 IBLCK=1,NBLCK
      FK=N
      FLX=LX
      V=SGNR*TP1*FK/FLX
      WK=DCBPLX(DCCS(V),DSIN(V))
      JSTART=IBLOCK*(IBLOCK-1)
      DO 2 I=1,LBHALF
        J=JSTART+I
        JH=J+LBHALF
        Q=X(JH)*WF
        X(JH)=X(J)*G
        X(J)=X(J)+Q
        CONTINUE
      DO 3 I=2,N(I)
        I1=I
        IF(K.LT.M(I)) GO TO 4
        K=K-M(I)
        3  K=K+M(I1)
        K=0
        DO 7 J=1,LX
          IF(K.LT.J) GO TO 5
          HOLD=X(J)
          X(J)=X(K+1)
          A(K+1)=HOLD
        DO 6 I=1,M
          I1=I
          IF(K.LT.N(I)) GO TO 7
          K=K-M(I)
          6  K=K+M(I1)
          IF(SGNR.LT.0.0) RETURN
        DO 8 I=1,LX
          X(I)=A(I)/FLX
          RETURN
        END
      SUBROUTINE PTAMP(ZAF,FF,IFREQ,PI,AMP,FZ)
      C SUBRUTINA PARA CALCULAR EL ESPECTRO DE FRECUENCIAS DEL FIL-
      C TRO LINEAL.
      DIMENSION AMP(1024),FZ(1024),FR(1024)
      COMPLEX*16 ZAF(1024)
      DO 1 I=1,IFREQ
        AMP(I)=SGNL(CDABS(ZAF(I)))
        1  FZ(I)=ATAN2(SGNL(DIMAG(ZAF(I))),SGNL(DREAL(ZAF(I))))
      CONTINUE
      CALL DRUP(PI,IFREQ,FZ)
      DO 2 I=1,IFREQ
        2  FZ(I)=FZ(I)*(180./PI)
      VFM=FZ(IFREQ)/180.
      WRITE(6,*) 'VFM=',VFM
      RETURN
      END
      SUBROUTINE DPBS(PI,LP0Z,PI0Z)
      C SUBRUTINA PARA CALCULAR LAS FASIS.
      DIMENSION PZ(1024)
      PJ=0.0
      DO 4G I=2,LP0Z
        IF(LP0Z-PI0Z(I)+PJ-PI0Z(I-1))-PI) 40,40,10
        4G  PZ(I)=PJ+PI0Z(I-1) 20,40,30
        PJ=PI0Z(I)+PJ
      GO TO 4G

```


COD. APENDICE A

```

30      PJ=PJ-PI*2.
40      PLZ(1)=PLZ(1)+PJ
      RETURN
      END
SUBROUTINE WFER(SAMPC,U,DISP,E)
C SUBRUTINA PARA CALCULAR LA FUNCION DE SALIDA WFER.
  DIMENSION R(1024)
  COMPLEX*16 R
  DOUBLE PRECISION SAMPC,SI,XL,XD,XTT,DISP,AR,BR,CR,DR
  DOUBLE PRECISION ROWEN
  SI=LOG(10.000)/SAMPC
  XL=L
  XD=-(AL/2.DO)*SI
  DO 1 I=1,L
  XTT=XD-DISP
  IF(XTT.LT.-.225D3.OR.XTT.GT..247D3) GO TO 2
  AR=DEXP(XTT)
  BR=AR*AR
  CR=AR*((DSORT(1.DO + BR))**.3.)
  DR=AR*((DSORT(1.DO+4.DO*BR))**.3.)
  ROWEN=2.DO*(CR-DR)/3.DO
  R(I)=DCMPLX(ROWEN,0.000)
  GO TO 3
  R(I)=DCMPLX(0.000,0.000)
  XD=XD+SI
  CONTINUE
  RETURN
  END
2
3
1

```

APENDICE B
PROGRAMA FILTER
(MODIFICADO)

MODIFICADO POR ANDRES TEJERO ANDRADE (1986)

PROGRAMA PARA CALCULAR LOS COEFICIENTES DE FILTRO LINEAL INVERSO O DIRECTO PARA ARREGLO SCHLUMBERGER O WENNER PARA CUALQUIER INTERVALO DE MUESTREO DESEADO, USANDO TRANSFORMADA DE FOURIER.

DATOS DE ENTRADA:

NUBE= ORDEN DEL FILTRO DE BUTTERWORTH.
TFIL= PARAMETRO SELECCIONADOR, SI TFIL=-1.0 SE CALCULA EL FILTRO LINEAL DIRECTO, SI TFIL=1.0 EL FILTRO LINEAL INVERSO.
NX= PARAMETRO SELECCIONADOR, SI NX=1 SE CALCULA EL FILTRO LINEAL PARA DISPOSITIVO SCHLUMBERGER, SI NX=2 SE CALCULA EL FILTRO LINEAL PARA DISPOSITIVO WENNER.
PI= NO. DE MUESTRAS POR CICLO LOGARITICO

DIMENSION FIC(300), FC(300), S(300), R(1030), I(1030)
*, ZI(1030), FR(1030), AMP(100), FZ(500)
DOUBLE PRECISION PI, TFIL, SAMPC, SI, DISP, B, CURTEK
COMPLEX*16 R, T, ZI, ZINX

LECTURA DE DATOS

BLOQUE DE MODIFICACIONES AL PROGRAMA SEARA ORIGINAL

READ(5,*)NUBE
WRITE(6,*)' ORDEN DEL FILTRO DE BUTTERWORTH'
WRITE(6,*)NUBE
WRITE(6,*)'

91 READ(5,*)TFIL,NX,PI
IF(TFIL.EQ.0.0) GO TO 2)
IF(TFIL=-1.) 6,7,7
6 WRITE(6,105)
105 FURMAT(9X,'FILTRO LINEAL DIRECTO')
GO TO 8
7 WRITE(6,106)
106 FURMAT(9X,'FILTRO LINEAL INVERSO')
8 IF(NX-1) 10,9,10
9 WRITE(6,107)
107 FURMAT(14X,'SCHLUMBERGER')
GO TO 17
10 WRITE(6,108)
108 FURMAT(14X,'WENNER')
17 WRITE(6,109) F1
109 FURMAT(7X,'INTERVALO DE MUESTREO= LN(10.)/',F4.1)
TFIL=DOUBLE(IFIL)
PI=DOUBLE(4.)*DATAN(DOUBLE(1.))
B=DOUBLE(6.0)
P2=2.*PI
SAMPC=DOUBLE(02)
C N ES LA POTENCIA DE 2 PARA LA FFT
N=10
L=2**N
XL=L
C SE CALCULA EL INTERVALO DE MUESTREO
SI=LOG(DOUBLE(10.))/SAMPC
C SE CALCULA LA COEFICIENTE DIRECTA FRECUENCIA DE NYQUIST
WENNER=1./SI
FIRTS=1./XL*SI
DO 11 I=1,N/2+1

CONT. APERDICE B

```

11      FR(I)=(I-1)*FINT
C SE ESPECIFICA EL DESPLAZAMIENTO
      DISP=DBLE(0.)
      DO 100 J=1,2
C SE CALCULA LA FUNCION DE SALIDA Y SU TRANSFORMADA.
      IF((X.EQ.1) GU TO 31
      CALL XENER(SAMPC,L,DISP,R)
      GO TO 35
31      CALL DISC(SAMPC,L,DISP,B,R)
35      CALL NLOG(N,R,-1.0)
C SE CALCULA LA FUNCION DE ENTRADA.
      CALL RTEU(SAMPC,L,T)
C SE CALCULA LA TRANSFORMADA DE LA FUNCION DE ENTRADA
      CALL NLOG(N,T,-1.0)
C SE CALCULA EL ESPECTRO DE FRECUENCIA DEL FILTRO DIRECTO O
C INVERSO
      IF(TFILT.EQ.-1.00) GO TO 1000
      IF(TFILT.EQ.1.00) GO TO 2000
1000     DO 1 I=1,L
1          ZI(1)=T(I)/R(I)
          GO TO 3000
2000     DO 2 I=1,L
2          ZI(1)=R(I)/T(I)
3000     IF(J.GT.1) GO TO 200
C SE CALCULA EL NUEVO ESPACIAMIENTO DE MUESTREO
      SAMPC=DBLE(I)
      SI=DBLOG(DBLE(10.))/SAMPC
      ZINY=ZI(NFREQ)
C SE CALCULA LA FASE CORRESPONDIENTE A LA FRECUENCIA DE NY-
CQUIST PARA EL INTERVALO P1
      PNY=ATAN2(SNGL(DIMAG(ZINY)),SNGL(DREAL(ZINY)))
C SE CALCULA EL DESPLAZAMIENTO
      DISP=0.000
C SE CALCULA LA FRECUENCIA DE NYQUIST CORRESPONDIENTE AL IN-
C TERVALO P1
      NFREQ=XL/2.+1
      FINT=1./(XI*SI)
      DO 13 I=1,NFREQ
13          FR(I)=(I-1)*FINT
100          CONTINUE
200          CONTINUE
C SE ACORTA EL FILTRO EN EL DOMINIO DE LAS FRECUENCIAS
      N=7
      IZ=2**N
      XL2=L2
      NFREQ=XL2/2.+1
      IIC=L/L2
      DO 12 I=2,IZ
12          FR(I)=FR(IIC*(I-1)+1)
          ZI(1)=ZI(IIC*(I-1)+1)
-----
BLOQUE DE MODIFICACIONES AL PROGRAMA SEARA ORIGINAL
-----
CALCULO Y MULTIPLICACION DEL FILTRO DE BUTTERWORTH HASTA
L2/2+1
C
      CURTEK=FR(NFREQ)
      CURTEA=CORTEK*(1.000/2.000)
      WRITE(6,*)' FRECUENCIA DE CUOTE PARA FB',CORTEK
      WRITE(6,*)' ABSCSA (K) VALOR DE FB(K)'
      DO 175 I=1,L2/2+1
      BUTTER=1.000/DSQRT(1.000+(FR(I)/CORTEK)**(2*NUBE))
      WRITE(6,*)FR(I),BUTTER
175      ZI(1)=ZI(1)+BUTTER
C
-----ACOMPLETA EL ESPECTRO DE LA FUNCION-----
C
      J=XL2/2+1
      ZI(J)=(ZI(J) + DCOSG(ZI(J)))/2.000

```

CO. 1. APE. BICE P.

```

DO 300 I=J+1,AL2
  ZI(I)=LCOMSG( ZI(XL2+2-I) )
C-----
C
C-----
110 WRITE(6,110)
  *,'FORMAT(1H1,10X,'ESPECTRO DE FRECUENCIAS',/,4X
  *,'FRECUENCIAS',3X,'AMPLITUD RELATIVA',3X,'FASE',/)
C SE CALCULA LA TRANSFORMADA INVERSA
  CALL MUGR(N,LT,1.0)
  DO 3 I=1,L2
  FC(I)=SGL( DREAL(ZI(I)) )
C NUMERO TOTAL DE COEFICIENTES LE FILTRO
  NPF=12
C NUMERO DE COEFICIENTES DESPUES DE X=0
  NF=L2/2
C NUMERO DE COEFICIENTES AVTES DE X=0
  NE=NPF-NF
C SE CALCULA LA ASCISA DE LOS COEFICIENTES
  IF(1FILT.EQ.1.00) SA=-1.
  IF(1FILT.EQ.-1.00) SA=1.
  S(I)=- (XL2/2.)*SI+SU*DISP
  DO 15 I=1,NPF
  S(I+1)=S(I)+SI
C REPOSICION DE LOS COEFICIENTES DE FILTRO A SU CORRESPON-
C DIENTE ASCISA
  DO 4 I=1,NF
  FC(NF+I)=FC(I)
  DO 5 I=1,NE
  FC(I)=FC(NF+I)
  SUM=0.0
C IMPRESION DE DATOS DE SALIDA:
  WRITE(6,113)
113 *,'FORMAT(2(/),4X,'ASCISA LOGARITMICA',4X
  *,'COEFICIENTES DE',/,9X,'(LN X)',13X,'FILTRD LINEAL'
  *,2(/))
  DO 16 I=1,NPF
  SUM=SUM+FC(I)
  WRITE(6,114) S(I),FC(I)
  CONTINUE
114 *,'FORMAT(8X,F9.4,9X,E20.13)
  *,'WRITE(6,115) DISP,SUM
  *,'FORMAT(5X,'VALOR DEL DESPLAZAMIENTO=',F10.7,2(/),5X,
  *,'SUMA DE LOS COEFICIENTES=',F12.10)
  GO TO 41
21 CALL EXIT
  END
SUBROUTINE RTFUN(SAMPC,L,T)
C SUBROUTINA PARA CALCULAR LA FUNCION DE ENTRADA TRANSFORMADA
C DE RESISTIVIDAD
  DIMENSION T(1024)
  COMMON XA*10
  DOUBLE PRECISION SAMPC,SI,XL,XD,AT,ST,CT,DT
  DOUBLE PRECISION RETRA
  SI=ALOG(10.00)/SAMPC
  XL=L
  XD=- (AL/2.00)*SI
  DO 1 I=1,L
  IF(XD.LT.-.06D1.00*.XD.CT+.6756D3) GO TO 3
  AT=DEXP(XL)
  ST=DEAP(-XD)
  CT=DEAP(XL)
  DT=.3D1*AT
  RETRA=C*GL(1.)/(DT*CT)
  T(I)=C*PLX(1E+RA,0.000)
  GO TO 2
3 T(I)=C*PLX(0.000,0.000)
2 XC=XD+SI

```

APENDICE B

CONT. APENDICE B

```

1 CONTINUE
  RETURN
  END
  SUBROUTINE DISCH(SAMPC,L,DISP,B,R)
C SUBROUTINA PARA CALCULAR LA FUNCION DE SALIDA SCHLUMBERGER.
  DIMENSION R(1024)
  COMPLEX*16 R
  DOUBLE PRECISION SAMPC,S1,XL,XD,B,B1,B2
  DOUBLE PRECISION XTT,DISP,AR,BR,CR,DR,RUDSC
  SI=DLG(10.000)/SAMPC
  XL=L
  XD=-(AL/2.000)*SI
  B1=2.00+B+1.000
  B2=1.00-3.00*B
  DO 1 I=1,L
  XTT=XD-DISP
  IF (XTT.LT.-.905D2.OR.XTT.GT..1059D3) GO TO 2
  AR=DEXP(3.00*XTT)
  BR=DEXP(2.00*XTT)
  CR=B1*BR+B2
  DR=(1.00+BR)**(-3.500)
  RUDSC=(AR*CR)*DR
  R(I)=DCMPLX(RUDSC,0.000)
  GO TO 3
2 R(I)=DCMPLX(0.000,0.000)
  XD=XD+SI
  CONTINUE
  RETURN
  END
  SUBROUTINE NLOGH(N,X,SGN)
C SUBROUTINA PARA CALCULAR LA TRANSFORMADA DISCRETA DIRECTA O
C INVERSA DE FOURIER
  DIMENSION N(25)
  COMPLEX*16 X(1024),WK,HOLD,C
  DOUBLE PRECISION TPI,V
  TPI=DELE(8.)*DATAR(0BLE(1.0))
  LX=2**N
  DO 1 I=1,L
  N(I)=2**(N-I)
  DO 4 L=1,N
  NBLOCK=2**(L-1)
  LBLOCK=LX/NBLOCK
  LBHALF=LBLOCK/2
  K=0
  DO 4 IBLOCK=1,NBLOCK
  FK=K
  FLX=LX
  V=SGN*TPI*FK/FLX
  WK=DCMPLX(DCOS(V),DSIN(V))
  ISTART=LBLOCK*(IBLOCK-1)
  DO 2 I=1,LBHALF
  J=ISTART+I
  JH=J+LBHALF
  Q=X(JH)*WK
  X(JH)=X(J)-Q
  X(J)=X(J)+Q
  CONTINUE
  DO 3 I=2,N
  I1=I,LT,*(I) GO TO 4
  K=X*N(I)
  K=X+K(I)
  N=0
  DO 7 J=1,LX
  IF (E.LT.0) GO TO 5
  HOLD=X(J)
  X(J)=X(K+1)
  X(K+1)=HOLD
  DO 6 I=1,N

```

APENDICE B

CONT. APENDICE B

```

II=I
IF(K.LT.4(I)) GO TO 7
6 K=K-M(I)
7 K=K+M(II)
IF(SGMR.LT.0.0) RETURN
8 DO 6 I=1,LX
X(I)=X(I)/FLX
RETURN
END
SUBROUTINE PTAMP(ZAF,FR,NFREQ,PI,AMP,FZ)
C SUBROUTINA PARA CALCULAR EL ESPECTRO DE FRECUENCIAS DEL FIL-
C TRO LINEAL.
DIMENSION AMP(1024),FZ(1024),FR(1024)
COMPLEX*16 ZAF(1024)
DO 1 I=1,NFREQ
AMP(I)=SNGL(CDABS(ZAF(I)))
FZ(I)=ATAN2(SNGL(DIMAG(ZAF(I))),SNGL(DREAL(ZAF(I))))
1 CONTINUE
CALL DRUM(PI,NFREQ,FZ)
DO 2 I=1,NFREQ
2 FZ(I)=FZ(I)*(180./PI)
VEN=FZ(NFREQ)/180.
C WRITE(6,*) 'VEN=',VEN
RETURN
END
SUBROUTINE DRUM(PI,LPHZ,PHZ)
C SUBROUTINA PARA CALCULAR LAS FASES.
DIMENSION PHZ(LPHZ)
PJ=0.0
DO 40 I=2,LPHZ
IF(ABS(PHZ(I)+PJ-PHZ(I-1))-PI) 40,40,10
10 IF(PHZ(I)+PJ-PHZ(I-1)) 20,40,30
20 PJ=PJ+PI*2.
GO TO 40
30 PJ=PJ-PI*2.
40 PHZ(I)=PHZ(I)+PJ
RETURN
END
SUBROUTINE WENNER(SAMPC,L,DISP,R)
C SUBROUTINA PARA CALCULAR LA FUNCION DE SALIDA WENNER.
DIMENSION R(1024)
COMPLEX*16 R
DOUBLE PRECISION SAMPC,SI,XL,XD,XTT,DISP,AR,BR,CR,DR
DOUBLE PRECISION ROWEN
SI=DLG(10.000)/SAMPC
XL=L
XD=- (XL/2.00)*SI
DO 1 I=1,L
XTT=XD-DISP
IF(XTT.LT.-.225D3.OR.XTT.GT..247D3) GO TO 2
AR=EXP(XTT)
BR=AR*AR
CR=AR*(DSORT(1.D0+BR))**-3.)
DR=AR*(DSORT(1.D0+4.D0*BR))**-3.)
ROWEN=2.D0*(CR-DR)/3.D0
R(I)=DCNPLX(ROWEN,0.000)
GO TO 3
2 R(I)=DCNPLX(0.000,0.000)
XD=XD+SI
1 CONTINUE
RETURN
END

```

A P E N D I C E C
P R O G R A M A C O N V O L U C I O N

PROGRAMA PARA CALCULAR LA FUNCION TRANSFORMADA DE RESISTIVIDADES, (MEDIANTE CONVOLUCION) EN UN MEDIO ESTRATIFICADO DE DOS CAPAS CON RESISTIVIDADES ASCENDENTES O DESCENDENTES, CON UN CONTRASTE DE RESISTIVIDADES DE 1:10 . PARA CUALQUIER INTERVALO DE MUESTREO DESEADO.

PROGRAMA PARA CALCULAR LA FUNCION TRANSFORMADA DE RESISTIVIDADES, (MEDIANTE CONVOLUCION) EN UN MEDIO ESTRATIFICADO DE DOS CAPAS CON RESISTIVIDADES ASCENDENTES O DESCENDENTES, CON UN CONTRASTE DE RESISTIVIDADES DE 1:10 . PARA CUALQUIER INTERVALO DE MUESTREO DESEADO.

DATOS DE ENTRADA:

XX- VECTOR DE ARCSISAS DE LA F(X)
FILTRO- VECTOR DE VALORES MUESTREADOS DE F(X).

IMPLICIT REAL*8(A-H,O-Z)
DIMENSION FILTRO(150),TRCAL(150),XX(128)

-----CALCULOS Y ASIGNACIONES NECESARIAS-----

NWS=2**7
R1=1.000
R2=10.0000.000
NTIPO=0

-----LECTURA DE DATOS DEL FILTRO-----

DO I=1,NWS
READ(5,*)XX(I),FILTRO(I)
WRITE(6,*)' X= ',XX(I), ' FILT= ',FILTRO(I)
ENDDO

-----CONVOLUCION DEL FILTRO CON LA RA-----

DO J=1,NWS
SUM=0.000
X=XX(J)
DO I=1,NWS
Y=X - XX(I)
CALL RACR1,R2,NTIPO,Y,RESAP)
SUM=SUM+RESAP*FILTRO(I)
ENDDO
TRCAL(J)=SUM
ENDDO

-----CALCULO DE ERROR CON LA FUNCION CALCULADA-----
-----POR CONVOLUCION Y LA ANALITICA.-----

DO I=1,NWS
X=XX(I)
CALL TR(R1,R2,NTIPO,X,TRANA)
ERRUP=(DABS(TRCAL(I)-TRANA)/DABS(TRANA))*100
WRITE(6,101)SUGL(A),TRCAL(I),TRANA,ERRUP
ENDDO
101 FORMAT(10X,F15.4,1X,2(1X,G15.10),1X,G16.10)
CALL EXIT
END

-----SUBROUTINA-----

SUBROUTINE RACR1,R2,NTIPO,X,RESAP)

DOUBLE PRECISION R1,R2,Z,RESAP
IF(NTIPO.EQ.1)GO TO 5
IF(X.GT.44.000)GO TO 10
RESAP=R1+(R2-R1)*DEXP(X)/((1.000+DEXP(2.000*X))**0.5)
GO TO 15
10 RESAP=R2

APENDICE C

CONT. APENDICE C

```

GO TO 15
5 RESAP=R2+(R1-R2)*DEXP(-DEXP(X))*(1.000+DEXP(X))
15 RETURN
END

```

C

-----SUBROUTINA-----
SUBROUTINE TR(R1,R2,NTIPO,X,TRANA)

```

DOUBLE PRECISION R1,R2,X,TRANA
IF(NTIPO.EQ.1)GO TO 5
TRANA=R1+(R2-R1)*(1.000-DEXP(-DEXP(-X)))/DEXP(-X)
GO TO 15
5 IF(X.LT.-44.000)GO TO 20
TRANA=R2+(R1-R2)*DEXP(-X)/((1.000+DEXP(-2.000*X))**0.5)
GO TO 15
20 TRANA=R1
15 RETURN
END

```


BIBLIOGRAFIA

BATH M. (1974) "Spectral Analysis in Geophysics". Elsevier Scientific Publishing Company.

BERNABINI M. y CARDARELLI E. (1978) "The use of filtered Bessel functions in direct interpretation of geoelectrical soundings". Geophysical Prospecting., Vol. 26, pag. 841-852

BRIGHAM D. (1974) The fast fourier transform. Prentice Hall, Inc.

GHOSH D.P. (1979) "Inverse Filter Coefficients for the Computation of Apparent Resistivity Standard Curves for Horizontally Stratified Earth". Geophysical Prospecting, Vol. 19, pag. 769-775

HAMMING R. W. (1977) Digital filters. Printice Hall, Inc.

KOFOED O (1979) "Geosounding Principles, I". Elsevier Scientific Publishing Company.

MANSINHA L. (1984) "Zero-Phase Forward Filters for Resistivity Sounding". Geophysical Prospecting, Vol. 32, pag. 1155-1166

ORELLANA E. (1982) Prospección geoelectrica en corriente continua. Paraninfo.

RABINER L. y GOLD B. (1975) Theory and application of digital signal processing. Prentice Hall, Inc.

SEARA J.L. (1977) Msc. Thesis The University of Western Ontario, London Ontario, Canada

OPPENHEIM J.L. y SCAFER W.R. (1975) Digital Signal Processing. Prentice Hall, Inc.

TEJERO A.A., GONZALEZ V.P. y LEON S.R. (1986) "Comment on Zero-Phase Forward Filters for Resistivity Sounding by L. Mansinha". Geophysical Prospecting, en imprenta.

VOZOFF K. (1958) "Numerical resistivity analysis horizontal layers". Geophysics., Vol. 23, pag. 536-556